



(12) 发明专利申请

(10) 申请公布号 CN 102738200 A

(43) 申请公布日 2012. 10. 17

(21) 申请号 201210080760. 9

(22) 申请日 2012. 03. 23

(30) 优先权数据

2011-079619 2011. 03. 31 JP

(71) 申请人 索尼公司

地址 日本东京

(72) 发明人 山田二郎 横山诚一 长谷川英史

槙田笃哉 上杉昌尚 权藤胜一

市川朋芳 山下淳一

(74) 专利代理机构 北京康信知识产权代理有限

责任公司 11240

代理人 余刚 吴孟秋

(51) Int. Cl.

H01L 27/32(2006. 01)

H01L 51/52(2006. 01)

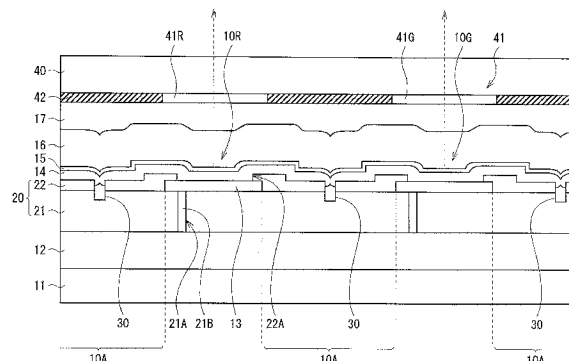
权利要求书 2 页 说明书 19 页 附图 32 页

(54) 发明名称

显示单元及其制造方法

(57) 摘要

一种显示单元及其制造方法, 该显示单元在基板上包括: 多个有机 EL 器件; 以及配置在多个有机 EL 器件之间的器件间区域中的绝缘膜。该绝缘膜包括位于彼此相邻的有机 EL 器件之间的位置中的沟槽。



1. 一种显示单元,包括位于基板上的:
多个有机 EL 器件;以及
绝缘膜,配置在所述多个有机 EL 器件之间的器件间区域中,所述绝缘膜包括位于彼此相邻的所述有机 EL 器件之间的位置中的沟槽。
2. 根据权利要求 1 所述的显示单元,其中,所述有机 EL 器件包括:
第一电极,为所述多个有机 EL 器件中的每一个配置;
有机层,针对所述多个有机 EL 器件公共地配置在所述第一电极和所述绝缘膜上,且包括空穴注入层或空穴输送层、以及发光层;以及
第二电极,针对所述多个有机 EL 器件公共地配置在所述有机层上,并且所述空穴注入层或所述空穴输送层在所述沟槽内的厚度小于其在沟槽外的厚度。
3. 根据权利要求 2 所述的显示单元,其中,所述空穴注入层或所述空穴输送层在所述沟槽内的厚度向所述沟槽的深度方向变小。
4. 根据权利要求 1 所述的显示单元,其中,所述多个有机 EL 器件具有在一个方向上延伸的矩形形状,并且以与其短边平行的行方向和与其长边平行的列方向排列,并且遍及所述多个有机 EL 器件的多个行在所述列方向上连续地配置所述沟槽。
5. 根据权利要求 1 所述的显示单元,其中,所述多个有机 EL 器件具有矩形形状,并且以与其短边平行的行方向和与其长边平行的列方向排列,并且为所述多个有机 EL 器件的每一行在所述列方向上配置所述沟槽。
6. 根据权利要求 4 所述的显示单元,其中,所述多个有机 EL 器件在所述行方向上的节距等于或小于 30 μm 。
7. 根据权利要求 1 所述的显示单元,其中,所述绝缘膜包括第一绝缘膜和第二绝缘膜,所述第一绝缘膜被配置在所述基板与所述多个有机 EL 器件之间,并且所述第二绝缘膜被配置在所述第一绝缘膜上的器件间区域中,并且所述沟槽包括第一沟槽和第二沟槽,所述第一沟槽被配置在所述第一绝缘膜中,并且所述第二沟槽被配置在所述第二绝缘膜中,与所述第一沟槽相通,且具有比所述第一沟槽的宽度更窄的宽度。
8. 根据权利要求 2 所述的显示单元,包括位于所述沟槽的底面上的导电膜,其中,所述导电膜被连接至预定电位。
9. 根据权利要求 8 所述的显示单元,其中,所述预定电位是地电位或所述第二电极的电位。
10. 根据权利要求 8 所述的显示单元,包括:
驱动电路,包括所述基板与所述多个有机 EL 器件之间、所述基板与所述绝缘膜之间的晶体管,
其中,所述导电膜是遮挡光的遮光层。
11. 根据权利要求 1 所述的显示单元,其中,所述发光层是发射白光的层,并且所述有机 EL 器件包括将所述白光提取为红光、绿光或蓝光的彩色滤光器。
12. 根据权利要求 1 所述的显示单元,其中,所述有机 EL 器件包括有机层,并且所述沟槽的宽度等于或小于所述有机层的厚度。
13. 一种制造显示单元的方法,所述方法包括:

在基板上形成多个有机 EL 器件；以及
在所述多个有机 EL 器件之间的器件间区域中形成绝缘膜，
其中，在所述绝缘膜的形成中，在所述绝缘膜的彼此相邻的所述有机 EL 器件之间的位置中配置沟槽。

14. 根据权利要求 13 所述的制造显示单元的方法，其中，形成所述多个有机 EL 器件包括：

为所述多个有机 EL 器件中的每一个形成第一电极；

在所述第一电极和所述绝缘膜上，针对所述多个有机 EL 器件公共地形成有机层，所述有机层包括空穴注入层或空穴输送层、以及发光层；以及

在所述有机层上，针对所述多个有机 EL 器件公共地形成第二电极，并且

其中，在所述绝缘膜中配置了所述沟槽之后执行所述有机层的形成。

15. 根据权利要求 14 所述的制造显示单元的方法，其中，通过蒸发法执行所述有机层的形成，并且满足数学表达式 1，

数学表达式 1 : $X/Y > w/d$

其中，X 表示从所述沟槽的入口边缘到蒸发源的偏移距离，Y 表示所述基板与所述蒸发源之间的距离，w 表示所述沟槽的宽度，并且 d 表示所述沟槽的深度。

16. 根据权利要求 15 所述的制造显示单元的方法，其中，在所述有机层的形成中，所述蒸发法是在旋转所述基板的同时执行膜的形成的旋转蒸发法，并且在旋转所述基板一周的期间的部分或全部时间内满足所述数学表达式 1。

17. 根据权利要求 15 所述的制造显示单元的方法，其中，在所述有机层的形成中，所述蒸发法是在所述蒸发源和所述基板在一个方向上相对移动的同时执行膜的形成的线性蒸发法，并且在所述基板通过所述蒸发源的期间的部分或全部时间内满足所述数学表达式 1。

18. 根据权利要求 15 所述的制造显示单元的方法，其中，在所述有机层中的所述空穴注入层或所述空穴输送层的形成中，满足所述数学表达式 1。

显示单元及其制造方法

技术领域

[0001] 本公开涉及一种具有有机 EL(电致发光) 器件的显示单元及其制造方法。

背景技术

[0002] 有机 EL 器件具有这样一种结构：其中，第一电极、包括发光层的有机层以及第二电极被顺次层积在衬底上。形成有机层的方法的实例包括一种通过使用蒸发掩膜来分别蒸镀红发光层、绿发光层和蓝发光层的方法，和一种不使用蒸发掩膜而层积红发光层、绿发光层和蓝发光层的方法。在要求具有高分辨率和改善的孔径比的显示单元中，后一种方法将来可能会成为主流。

[0003] 在层积多个发光层的方法中，针对所有有机 EL 器件公共地配置有机层。因此，相邻有机 EL 器件之间通过空穴注入层会发生驱动电流泄漏。从而，非发光像素受发光像素影响会略微发光，这会导致混色和效率下降。为解决这一缺陷，例如在日本待审查专利申请公开第 2009-4347 号中，在有机 EL 器件之间的区域中形成一种倒锥形分隔壁，且之后再形成空穴注入层，从而空穴注入层被截断成多个部分。

发明内容

[0004] 在日本待审查专利申请公开第 2009-4347 号所述的现有方法中，形成了空穴注入层之后，为了在分隔壁上形成第二电极的过程中不把第二电极截断成多个部分，要进行热处理以便使分隔壁变成正锥形。然而，有如下缺陷存在：在蒸发步骤的过程中进行热处理的情况下，特性劣化的概率更高。

[0005] 期望提供一种能够抑制相邻有机 EL 器件之间的驱动电流泄漏而不降低特性的显示单元及其制造方法。

[0006] 根据本公开的一实施方式，提供了一种显示单元，包括：位于基板上的多个有机 EL 器件以及配置在多个有机 EL 器件之间的器件间区域中的绝缘膜，该绝缘膜包括位于彼此相邻的有机 EL 器件之间的位置中的沟槽。

[0007] 在本公开的实施方式的显示单元中，绝缘膜被配置在多个有机 EL 器件之间的器件间区域中。该绝缘膜在彼此相邻的有机 EL 器件之间的位置中具有沟槽。因此，有机层中的诸如空穴注入层和空穴输送层的具有较高导电性的层在沟槽内的厚度小于其在沟槽外的厚度，并且增大了其沟槽内的电阻。从而，抑制了彼此相邻的有机 EL 器件之间的驱动电流泄漏。

[0008] 根据本公开的一实施方式，提供了一种显示单元制造方法，该方法包括：在基板上形成多个有机 EL 器件，以及在多个有机 EL 器件之间的器件间区域中形成绝缘膜。在绝缘膜的形成中，在绝缘膜的彼此相邻的有机 EL 器件之间的位置中配置沟槽。

[0009] 根据本公开的实施方式的显示单元或本公开的实施方式的显示单元制造方法，绝缘膜被配置在多个有机 EL 器件之间的器件间区域中。沟槽被配置在绝缘膜的彼此相邻的有机 EL 器件之间的位置中。从而，抑制了彼此相邻的有机 EL 器件之间的驱动电流泄漏。并

且,不需要执行现有的热处理,从而,允许特性不会劣化。

[0010] 需要理解的是,无论上述一般性描述还是以下详细描述均是示例性的,并且意在提供对如权利要求所述的本技术的进一步说明。

附图说明

[0011] 所包括的附图提供了对本公开的进一步理解,将这些附图合并到本说明书中并构成其一部分。附图示出了实施方式,并与说明书一同用来阐明本技术的原理。

[0012] 图 1 是示出根据本公开第一实施方式的显示单元的结构的图。

[0013] 图 2 是示出图 1 所示的像素驱动电路的一个实例的图。

[0014] 图 3 是示出图 1 所示的显示区的结构的平面图。

[0015] 图 4 是沿着图 3 的线 IV-IV 截得的截面图。

[0016] 图 5 是在图 4 所示的沟槽附近的区域的经放大后的截面图。

[0017] 图 6 是示出沟槽深度与器件间区域的薄层电阻之间的关系的图。

[0018] 图 7A 至图 7C 是示出将在配置了沟槽的情况下相邻像素的亮度的测量结果与在未配置沟槽的情况下进行对比的图。

[0019] 图 8A 至图 8C 是示出图 7A 至图 7C 所示的浮置 (floating) 器件的情况与相邻器件被接地的情况之间的亮度差的经放大后的图。

[0020] 图 9 是示出以所示步骤顺序制造图 1 所示显示单元的方法的截面图。

[0021] 图 10 是示出图 9 步骤之后的步骤的截面图。

[0022] 图 11 是示出图 10 步骤之后的步骤的截面图。

[0023] 图 12 是示出图 11 步骤之后的步骤的截面图。

[0024] 图 13 是示出图 12 步骤之后的步骤的截面图。

[0025] 图 14 是示出图 13 步骤之后的步骤的截面图。

[0026] 图 15 是示出图 14 步骤之后的步骤的截面图。

[0027] 图 16 是示出根据本公开第二实施方式的显示单元中的显示区的沟槽附近的区域的经放大后的截面图。

[0028] 图 17 是用于说明制造图 16 所示显示单元的方法的图。

[0029] 图 18 是用于说明旋转式蒸发法的图。

[0030] 图 19 是用于说明线性蒸发法的图。

[0031] 图 20 是示出图 19 所示线性蒸发法的沿着基板移动方向和与其垂直的方向看去的结构的示图。

[0032] 图 21 是示出空穴注入层和空穴输送层的沟槽内的厚度的第一仿真结果的图。

[0033] 图 22 是示出空穴注入层和空穴输送层的沟槽内的厚度的第二仿真结果的图。

[0034] 图 23 是示出空穴注入层和空穴输送层的沟槽内的厚度的第三仿真结果的图。

[0035] 图 24 是示出根据本公开第三实施方式的显示单元中的显示区的结构的平面图。

[0036] 图 25 是用于说明在配置了图 24 所示沟槽的情况下第二电极的电阻和显示状态的图。

[0037] 图 26 是用于说明在配置了图 3 所示沟槽的情况下第二电极的电阻和显示状态的图。

- [0038] 图 27 是示出在图 2 所示像素驱动电路中的有机 EL 器件内流通的电流 I_{ds} 的电路图。
- [0039] 图 28 是用于说明通过改变图 24 所示各个沟槽之间的列方向上的间隔和第二电极的厚度来检测第二电极的电阻和电压降而获得的仿真的图。
- [0040] 图 29 是示出第二电极的列方向上的电阻和行方向上的电阻的仿真结果的图。
- [0041] 图 30 是示出第二电压的电压降的仿真结果的图。
- [0042] 图 31 是示出根据本公开第四实施方式的显示单元中的显示区的结构的截面图。
- [0043] 图 32 是示出图 31 所示的沟槽附近的区域的经放大后的截面图。
- [0044] 图 33 是示出图 31 所示沟槽的另一形状的截面图。
- [0045] 图 34 是示出根据本公开第五实施方式的显示单元中的显示区的结构的截面图。
- [0046] 图 35 是示出图 34 所示的沟槽附近的区域的经放大后的截面图。
- [0047] 图 36A 至图 36D 是示出以所示步骤顺序制造图 34 所示显示单元的方法的截面图。
- [0048] 图 37A 和图 37B 是示出图 36D 步骤之后的步骤的斜视图和截面图。
- [0049] 图 38 是示出图 37A 和图 37B 步骤之后的步骤的截面图。
- [0050] 图 39 是示出包括上述实施方式的显示单元的模块的示意性结构的平面图。
- [0051] 图 40A 和图 40B 是示出上述实施方式的显示单元的第一应用实例的外观的正面图和背面图。
- [0052] 图 41 是示出第二应用实例的外观的斜视图。

具体实施方式

- [0053] 下文将参照附图对本公开的实施方式进行详细描述。该描述将按照以下顺序进行。
- [0054] 1. 第一实施方式 (在绝缘膜中, 相邻有机 EL 器件之间的位置处配置沟槽的实例)。
- [0055] 2. 第二实施方式 (在形成有机层的步骤中, 限定了基板上的沟槽与蒸发源之间的位置关系的实例)。
- [0056] 3. 第三实施方式 (为多个有机 EL 器件的各行在列方向上配置沟槽的实例)。
- [0057] 4. 第四实施方式 (以两步骤方式改变沟槽宽度的实例)。
- [0058] 5. 第五实施方式 (在沟槽底面上配置导电膜的实例)。
- [0059] 图 1 示出了根据本公开第一实施方式的显示单元的结构。该显示单元是用于数字单镜头反光摄像机的取景器、头戴式显示器等的小型高清晰度有机 EL 显示单元。例如, 该显示单元配置有显示区 110, 在该显示区中, 后述的多个有机 EL 器件 10R、10G 和 10B 在由玻璃等制成的基板 11 上被排列成矩阵形状。信号线驱动电路 120 和扫描线驱动电路 130 是用于显示视频的驱动器, 它们被配置在显示区 110 的周边。
- [0060] 在显示区 110 中, 配置了像素驱动电路 140。图 2 示出了像素驱动电路 140 的一个实例。像素驱动电路 140 是形成在位于后述的第一电极 13 的下层中的有源驱动电路。例如, 像素驱动电路 140 具有驱动晶体管 Tr1、写入晶体管 Tr2、电容器 (保持电容量) C_s 以及在第一电源线 (Vcc) 和第二电源线 (GND) 之间与驱动晶体管 Tr1 串联的有机 EL 器件 10R (或 10G/10B)。电容器 C_s 的一个电极被连接至驱动晶体管 Tr1 与写入晶体管 Tr2 之间, 且电容

器 Cs 的另一电极被连接至驱动晶体管 Tr1 与有机 EL 器件 10R(10G/10B) 之间。

[0061] 在像素驱动电路 140 中,多条信号线 120A 被布置在列方向上,且多条扫描线 130A 被布置在行方向上。各信号线 120A 和各扫描线 130A 的各个交差点均对应有机 EL 器件 10R、10G 和 10B 中的一个(子像素)。各信号线 120A 被连接至信号线驱动电路 120。从信号线驱动电路 120 通过信号线 120A 向写入晶体管 Tr2 的源极提供图像信号。各扫描线 130A 被连接至扫描线驱动电路 130。从扫描线驱动电路 130 通过扫描线 130A 顺次向写入晶体管 Tr2 的栅极提供扫描信号。

[0062] 图 3 示出了图 1 所示的显示区 110 的一部分的平面结构。多个有机 EL 器件 10R、10G 和 10B 在基板 11 上被排列成矩阵形状。各有机 EL 器件 10R、10G 和 10B 具有长边在某一方向上的矩形形状。在平行于其短边的行方向上,具有不同色彩的有机 EL 器件 10R、10G 和 10B 被顺序排列。在平行于其长边的列方向上,排列具有同一色彩的有机 EL 器件 10R(或 10G/10B)。

[0063] 彼此相邻的三个有机 EL 器件 10R、10G 和 10B 组成一个像素 10。每个有机 EL 器件 10R、10G 和 10B 组成一个子像素。例如,多个有机 EL 器件 10R、10G 和 10B 在行方向上的节距(中心距离)p 等于或小于 30 μm。具体地,例如,一个像素 10 是各边约为 10 μm 的正方形,并且,多个有机 EL 器件 10R、10G 和 10B 的节距 p 例如约为 3.3 μm。

[0064] 在多个有机 EL 器件 10R、10G 和 10B 之间的器件间区域 10A 中配置绝缘膜 20。绝缘膜 20 具有位于相邻有机 EL 器件 10R 和 10G(或相邻有机 EL 器件 10G 和 10B、或相邻有机 EL 器件 10B 和 10R) 之间的位置处的沟槽 30。因此,在该显示单元中,能够抑制相邻有机 EL 器件 10R 和 10G(或相邻有机 EL 器件 10G 和 10B、或相邻有机 EL 器件 10B 和 10R) 之间的驱动电流泄漏。

[0065] 例如,遍及多个有机 EL 器件 10R、10G 和 10B 的多个行从显示区 110 的上端到下端在列方向上连续配置沟槽 30。从而,若有机 EL 器件 10R、10G 和 10B 的后述的第二电极 15 在行方向上被沟槽 30 截断,则允许该第二电极 15 作为列方向上的连续共用电极而存在。对于沟槽 30 的细节,将在下文中给予描述。

[0066] 图 4 示出了沿着图 3 的线 IV-IV 截得的截面结构。在基板 11 上,配置了包括上述像素驱动电路 140 的驱动电路层 12 等。基板 11 的配置了驱动电路层 12 的整个表面被第一绝缘膜 21 覆盖。在第一绝缘膜 21 上,配置了上述多个有机 EL 器件 10R、10G 和 10B。在图 4 中,仅示出了有机 EL 器件 10R 和 10G。在多个有机 EL 器件 10R、10G 和 10B 之间的器件间区域 10A 中,第二绝缘膜 22 被配置在第一绝缘膜 21 上。第一绝缘膜 21 和第二绝缘膜 22 组成图 3 中的绝缘膜 20。沟槽 30 贯通第二绝缘膜 22,并被配置在第一绝缘膜 21 在厚度方向上的一部分中。

[0067] 第一绝缘膜 21 用于平坦化其上形成像素电路层 12 的基板 11 的表面。第一绝缘膜 21 例如具有从 100nm 至 1000nm(包括端点) 的厚度,并且由氮氧化硅(SiON) 或氧化硅(SiO₂ 或 SiO) 制成。在第一绝缘膜 21 的构成材料是诸如 SiON、SiO₂ 和 SiO 的硅基材料的情况下,可通过刻蚀容易地形成深度在第一绝缘膜 21 的厚度方向上的沟槽 30。第一绝缘膜 21 配置有用于连接至驱动电路层 12 的像素驱动电路 140 的驱动晶体管 Tr1 的接触孔 21A。接触孔 21A 配置有由导电金属制成的插塞 21B。

[0068] 第二绝缘膜 22 用于确保第一电极 13 与第二电极 15 之间的绝缘性,并且用于精确

获得发光区的所需形状。第二绝缘膜 22 不仅覆盖器件间区域 10A 并且还覆盖第一电极 13 的顶面端部，并具有对应于第一电极 13 的发光区的开口 22A。第二绝缘膜 22 例如具有从 100nm 至 200nm(包括端点)的厚度，并且由 SiON 制成。在第二绝缘膜 22 的构成材料是诸如 SiON 的硅基材料的情况下，可通过刻蚀容易地形成深度在第二绝缘膜 22 的厚度方向上的沟槽 30。

[0069] 有机 EL 器件 10R、10G 和 10B 被配置在第一绝缘膜 21 上。在有机 EL 器件 10R、10G 和 10B 中，从靠近基板 11 一侧顺次层积第一电极 13、包括发光层的有机层 14 和第二电极 15。在图 4 中，尽管仅示出了有机 EL 器件 10R 和 10G，但有机 EL 器件 10B 也具有同样结构。

[0070] 有机 EL 器件 10R、10G 和 10B 被保护膜 16 覆盖。并且，由玻璃等制成的密封基板 40 与保护膜 16 的整个表面贴合，其间介有粘附层 17，从而密封有机 EL 器件 10R、10G 和 10B。

[0071] 为多个有机 EL 器件 10R、10G 和 10B 的每一个配置第一电极 13。第一电极 13 例如具有约 100nm 的厚度，由作为高反射材料的铝 (Al) 或包括铝 (Al) 的合金制成，并且从第二电极 15 一侧提取发光层产生的光 (顶发光)。第一电极 13 的厚度优选为发光层产生的光不能从其透过并可以维持光提取效率的一个值，例如，在 30nm 至 200nm(包括端点)范围内。第一电极 13 的构成材料的实例包括由铝 (Al)、其合金、以及诸如金 (Au)、铂 (Pt)、镍 (Ni)、铬 (Cr)、铜 (Cu)、钨 (W)、钼 (Mo)、钛 (Ti)、钽 (Ta) 和银 (Ag) 等金属元素的单质或合金制成的反射电极。

[0072] 并且，第一电极 13 可具有约 20nm 厚的接触层 (未示出)，它作为上述反射电极的基底，由钛 (Ti)、钨 (W)、铜 (Cu)、钽 (Ta)、钼 (Mo) 等制成的。接触层还具有作为即使减小第一电极 13 的厚度仍能维持高反射率的反射辅助层的功能。在配置了接触层的情况下，第一电极 13 的厚度等于或大于 15nm 便足够了。

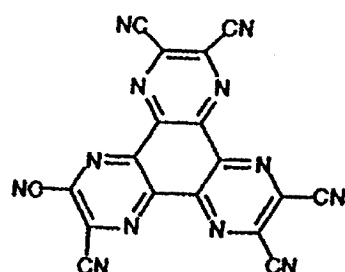
[0073] 并且，第一电极 13 可具有由作为接触层或反射辅助层的钛层、由铝或其合金等制成的上述反射电极、以及钛层或钽层构成的三层层积结构。另外，第一电极 13 可利用由上述反射电极和由 ITO(铟锡氧化物)、IZO(注册商标)(铟锌复合氧化物)、SnO₂ 等制成的透明电极构成的复合膜来形成。

[0074] 有机层 14 针对多个有机 EL 器件 10R、10G 和 10B 被公共地配置在第一电极 13 和第二绝缘膜 22 上。有机层 14 例如具有如图 5 所示从靠近第一电极 13 一侧顺次层积空穴注入层 14A、空穴输送层 14B、发光层 14C 和电子输送层 14D 的结构。

[0075] 空穴注入层 14A 用于提高空穴注入效率，并作为缓冲层防止泄漏。空穴注入层 14A 例如具有从 2nm 到 10nm(包括端点)的厚度，并由化学式 1 所示的六氢基氮杂苯并菲 (hexatrilazatriphenylene) 构成。

[0076] [化学式 1]

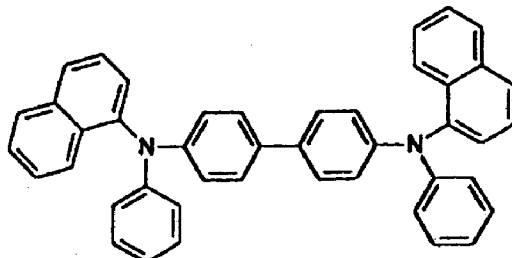
[0077]



[0078] 空穴输送层 14B 用于提高向发光层 14C 的空穴注入效率。空穴输送层 14B 例如具有 30nm 的厚度，并由化学式 2 所示材料构成。

[0079] [化学式 2]

[0080]



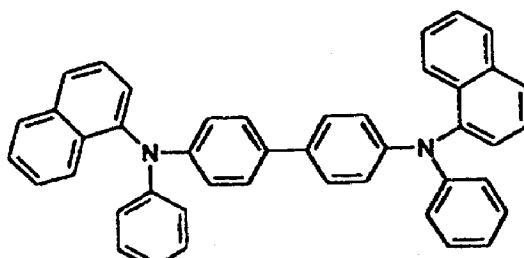
[0081] 发光层 14C 是从靠近第一电极 13 一侧顺次层积 10nm 厚的红色发光层（未示出）、10nm 厚的发光隔离层（未示出）、10nm 厚的蓝色发光层（未示出）和 10nm 厚的绿色发光层而形成的白色发光层。通过施加电场，使得从第一电极 13 通过空穴注入层 14A 和空穴输送层 14B 注入的空穴的一部分与从第二电极 15 通过电子输送层 14D 注入的电子的一部分复合，从而红色发光层发出红光。发光隔离层用于减小向红色发光层的电子供给量。通过施加电场，使得从第一电极 13 通过空穴注入层 14A、空穴输送层 14B 和发光隔离层注入的空穴的一部分与从第二电极 15 通过电子输送层 14D 注入的电子的一部分复合，从而蓝色发光层发出蓝光。通过施加电场，使得从第一电极 13 通过空穴注入层 14A、空穴输送层 14B 和发光隔离层注入的空穴的一部分与从第二电极 15 通过电子输送层 14D 注入的电子的一部分复合，从而绿色发光层发出绿光。红色发光层、绿色发光层和蓝色发光层在对应于第二绝缘膜 22 的开口 22A 的区域中发光。

[0082] 红色发光层包括一种以上的红色发光材料、空穴输送材料、电子输送材料和双电荷 (both-electric-charge) 输送材料。红色发光材料可以是荧光材料或磷光材料。具体地，红色发光层例如具有约 5nm 的厚度，并由通过在 4,4- 双 (2,2- 二苯乙烯基) 联苯 (DPVBi) 中混合 30wt% 的 2,6- 双 [(4' - (甲氧基二苯胺) 苯乙烯基]-1,5 二腈基萘 (BSN) 而获得的混合物构成。

[0083] 例如，发光隔离层由化学式 3 所示材料构成。

[0084] [化学式 3]

[0085]



[0086] 绿色发光层例如包括一种以上的绿色发光材料、空穴输送材料、电子输送材料和双电荷输送材料。绿色发光材料可以是荧光材料或磷光材料。具体地，绿色发光层例如具有约 10nm 的厚度，并由通过在 DPVBi 中混合 5wt% 的香豆素 6 而获得的混合物构成。

[0087] 蓝色发光层例如包括一种以上的蓝色发光材料、空穴输送材料、电子输送材料和双电荷输送材料。蓝色发光材料可以是荧光材料或磷光材料。具体地，蓝色发光层例如具

有约 30nm 的厚度，并由通过在 DPVBi 中混合 2.5wt % 的 4,4' - 双 [2-{4-(N, N- 二苯胺) 苯基} 乙烯基] 联苯 (DPAVBi) 而获得的混合物构成。

[0088] 电子输送层 14D 用于提高将电子注入到发光层 14C 的效率。电子输送层 14D 例如具有约 20nm 的厚度，并由 8 羟基喹啉铝 (Alq3) 构成。

[0089] 图 4 所示的第二电极 15 针对多个有机 EL 器件 10R、10G 和 10B 共同被配置在有机层 14 上。第二电极例如具有从靠近第一电极 13 一侧顺次层积约 0.3nm 厚的由氟化锂 (LiF) 构成的第一层、约 3nm 厚的由钙 (Ca) 构成的第二层以及约 5nm 厚的由 Mg-Ag 合金构成的第三层而形成的结构。由于以下原因，第二电极 15 在显示区 110 以外的区域中被连接至辅助配线 (未示出)。即，由于有机层 14 针对多个有机 EL 器件 10R、10G 和 10B 共同被配置，所以不能为各个有机 EL 器件 10R、10G 和 10B 制作第二电极 15 与辅助配线之间的连接。

[0090] 图 4 所示的保护膜 16 例如具有从 0.5 μm 到 10 μm (包括端点) 的厚度，并由氮化硅 (SiN) 构成。图 4 所示的粘附层 17 例如是由紫外线固化树脂或热固性树脂构成。

[0091] 图 4 所示的密封基板 40 被置于有机 EL 器件 10R、10G 和 10B 的第二电极 15 一侧，并将有机 EL 器件 10R、10G 和 10B 连同粘附层 17 一起封住。密封基板 40 例如是由诸如对有机 EL 器件 10R、10G 和 10B 发出的光透明的玻璃等材料制成的。

[0092] 密封基板 40 例如配置有彩色滤光片 41 和作为黑矩阵的遮光膜 42。彩色滤光片 41 用于从有机 EL 器件 10R、10G 和 10B 发出的白光中提取出红光、绿光或蓝光，并且具有红色滤光片 41R、绿色滤光片 41G 和蓝色滤光片 (未示出)。红色滤光片 41R、绿色滤光片 41G 和蓝色滤光片 (未示出) 对应于有机 EL 器件 10R、10G 和 10B 而被顺次布置。红色滤光片 41R、绿色滤光片 41G 和蓝色滤光片 (未示出) 分别是由混合有颜料的树脂制成的。通过选择颜料进行调整，使得在预定的红色、绿色或蓝色波长范围内的光透过率很高，并且在其他波长范围中的光透过率很低。

[0093] 遮光膜 42 用于吸收由有机 EL 器件 10R、10G 和 10B 以及其间的配线反射的外部光，从而改善对比度。遮光膜 42 例如是由混入黑色着色剂的具有等于或大于 1 的光学密度的黑色树脂膜、或通过利用薄膜干涉的薄膜滤光器构成。如上所述，遮光膜 42 优选由黑色树脂膜构成，因为这样可以廉价且容易地形成该膜。薄膜滤光器通过层积一层以上由金属、金属氮化物或金属氧化物构成的薄膜来获得，并且用于通过利用薄膜干涉来衰减光。薄膜滤光器的具体实例包括其中交替层积铬和氧化铬 (III) (Cr_2O_3) 的滤光器。

[0094] 图 3 和图 4 所示的沟槽 30 用于抑制如上所述的器件间区域 10A 中的驱动电流泄漏。即，有机层 14 被配置为多个有机 EL 器件 10R、10G 和 10B 共用的层。并且，图 5 所示的空穴注入层 14A 和空穴传送层 14B 在有机层 14 中具有相对较高的导电性。因此，空穴注入层 14A 和空穴传送层 14B 容易形成相邻有机 EL 器件 10R、10G 和 10B 的第一电极 13 之间的漏电路径。所以，例如，若有机 EL 器件 10R 发光，则相邻的有机 EL 器件 10G 也发光，从而单一红色色度被移位了。

[0095] 器件间区域 10A 中的这种漏电流的影响随着有机 EL 器件 10R、10G 和 10B 的尺寸缩小会越发显著。例如，将讨论图 3 中夹在有机 EL 器件 10R 的长边与相邻的有机 EL 器件 10G 的长边之间的矩形区域 10A1 中流通的漏电流 I_L 。矩形区域 10A1 中的电阻 R 由有机 EL 器件 10R 与 10G 之间的距离和有机 EL 器件 10R 与 10G 的长边长度的比来确定 (薄层电阻)，并且是与有机 EL 器件 10R、10G 和 10B 的尺寸无关的常量。另外，有机 EL 器件 10R、10G 和

10B 的 JV 特性 (J: 电流密度) 也是与有机 EL 器件 10R、10G 和 10B 的尺寸无关的常量。即，整个表面上用于 100nit 发光所需的电压 V 是与有机 EL 器件 10R、10G 和 10B 的尺寸无关的常量。因此，漏电流 $I_L (= V/R)$ 是与有机 EL 器件 10R、10G 和 10B 的尺寸无关的常量。同时，用于发光的驱动电流 I_0 根据有机 EL 器件 10R、10G 和 10B 的尺寸而变化一个数量级以上。因此，漏电流 I_L 相对于用于发光的驱动电流 I_0 的比随有机 EL 器件 10R、10G 和 10B 的尺寸变小而变大，导致对图像质量产生更大影响。

[0096] 在该情况下，通过在器件间区域 10A 中配置沟槽 30，如图 5 所示，空穴注入层 14A 和空穴输送层 14B 在沟槽 30 内的厚度 t_1 可被减薄至约为其沟槽 30 外厚度 t_2 的十分之一。因此，可以增大空穴注入层 14A 和空穴输送层 14B 在沟槽 30 内的电阻，并抑制器件间区域 10A 中的驱动电流泄漏。从而，漏电流 I_L 相对于用于发光的驱动电流 I_0 的比变为等于或小于百分之几，并且漏电流对图像质量的影响可被降至几乎不可见的水平。

[0097] 沟槽 30 的宽度 w 优选等于或小于有机层 14 的总膜厚，且具体地，优选从 10nm 到 150nm (包括端点)。因此，如图 5 所示，发光层 14C 可以跨过沟槽 30 连续。从而，电子输送层 14D 和第二电极 15 可以在沟槽 30 上方保持连续而不被截断成部分。因此，可以避免第二电极 15 被沟槽 30 切断的现象发生，并且可以在列方向以及行方向上将沟槽配置成格子状。

[0098] 图 6 示出了通过检测沟槽 30 的深度 d 与包括沟槽 30 的器件间区域 10A 的薄层电阻之间的关系而获得的结果。图 6 示出了多个有机 EL 器件 10R、10G 和 10B 的节距 p 约为 $3.3 \mu m$ 的情况的测量结果。从表 6 可看出，随着沟槽 30 的深度 d 加深，可以更多地减小漏电流。例如，为了近乎完全地抑制节距 p 约为 $3.3 \mu m$ 的情况下相邻器件的发光，可能需要约 $2*12 \Omega / \square$ 的薄层电阻等效值，且可能需要等于或大于 500nm 的深度 d 。

[0099] 下文中，将对有机 EL 器件 10R、10G 和 10B 的节距与所需电阻值之间的关系给予描述。

[0100] 将对具有不同节距的两种类似形状的像素给予讨论，其中，各自节距为 p 和 p' ；各自的发光面积为 S 和 S' ；各自的驱动电流为 I_0 和 I_0' ；各自的漏电流为 I_L 和 I_L' ；并且各自所需的电阻值为 R 和 R' 。

[0101] 对于一定的亮度，各自的电流密度是一致的。因此，建立表达式如下：

$$[0102] I_0' = (S' / S) I_0$$

$$[0103] = (p' / p)^2 I_0$$

[0104] 其中，漏电流 I_L 与所需驱动电流 I_0 的比为 r 和 r' ，则建立表达式如下：

$$[0105] I_L = r I_0$$

$$[0106] I_L' = r I_0' ,$$

$$[0107] \text{其中, } r' = r$$

[0108] 并且，各自的驱动电压是一致的，为 V 。因此，建立表达式如下：

$$[0109] R' = V / I_L'$$

$$[0110] = (r I_0 R) / (r I_0')$$

$$[0111] = (I_0 R) / ((p' / p)^2 I_0)$$

[0112] 所以，建立表达式如下：

$$[0113] R' / R = (p / p')^2$$

[0114] 图 7A 至图 7C 示出了通过使一个器件发光并测量与所述器件相邻的一个器件的亮度相对所述器件的亮度的比而获得的结果。实际发光的器件被置于横轴的从 0.5 到 1 (包括端点) 的附近, 并且与其相邻的器件被置于横轴的从 3.5 到 4 (包括端点) 的附近。图 7A 示出了未配置沟槽的比较例 1 的测量结果, 图 7B 示出了沟槽 30 的深度 d 为 300nm 的实例 1-1 的测量结果, 并且图 7C 示出了沟槽 30 的深度 d 为 700nm 的实例 1-2 的测量结果。此外, 在图 7A 至 7C 中, 实线表示相邻器件是浮置器件的情况下亮度, 并且虚线表示相邻器件被接地 (0V) 的情况下的亮度。两个亮度值之间的差代表漏电流。图 8A 至图 8C 表示通过放大上述差而得到的测量结果。

[0115] 从图 7A 至图 7C 以及图 8A 至图 8C 可看出, 在配置了沟槽 30 的实例 1-1 和 1-2 中, 相邻器件的亮度比低于未配置沟槽的比较例 1 的亮度比。即, 可以发现, 在器件间区域 10A 中配置沟槽 30 的情况下, 可以抑制相邻有机 EL 器件 10R、10G 和 10B 之间的驱动电流泄漏。

[0116] 并且, 比较实例 1-1 与实例 1-2, 随着沟槽 30 的深度 d 加深, 相邻器件的亮度比由于以下可能原因会更低。即, 空穴注入层 14A 和空穴输送层 14B 在沟槽 30 内的厚度 t1 极薄, 并且增大了具有这一很薄厚度 t1 的部分的电阻。因此, 随着沟槽 30 的深度 d 加深, 整个器件间区域 10A 的电阻被增大了。即, 可以发现, 随着沟槽 30 的深度 d 加深, 可以抑制相邻有机 EL 器件 10R、10G 和 10B 之间的驱动电流泄漏。

[0117] 例如, 可以如下制造该显示单元。

[0118] 图 9 至图 15 示出了一种以所示步骤顺序制造显示单元的方法。首先, 如图 9 所示, 在由上述材料制成的基板 11 上形成包括像素驱动电路 140 的驱动电路层 12。接下来, 例如通过等离子体 CVD (等离子体增强化学气相沉积) 法形成例如具有从 100nm 到 1000nm (包括端点) 厚度的例如 SiON 膜、SiO₂ 膜或 SiO 膜。随后, 例如通过光刻法和干法刻蚀法, 以确定形状形成 SiON 膜、SiO₂ 膜或 SiO 膜。再如图 9 所示, 形成具有接触孔 21A 的第一绝缘膜 21。在此之后, 再次如图 9 所示, 将由导电金属制成的插塞 21B 埋入第一绝缘膜 21 的接触孔 21A 中。

[0119] 之后, 例如通过溅射法在第一绝缘膜 21 上形成例如钛膜和铝合金膜 (未示出)。在此之后, 例如通过光刻法和干法刻蚀法, 以确定形状形成钛膜和铝合金膜, 从而如图 10 所示, 为多个有机 EL 器件 10R、10G 和 10B 中的每一个形成第一电极 13。

[0120] 形成第一电极 13 之后, 在第一电极 13 和第一绝缘膜 21 上, 通过 PECVD 法形成例如具有从 10nm 到 200nm (包括端点) 厚度的 SiON 膜。例如通过光刻法和干法刻蚀法, 以确定形状形成该 SiON 膜, 从而如图 11 所示, 形成具有开口 22A 的第二绝缘膜 22。

[0121] 形成第二绝缘膜 22 之后, 如图 12 所示, 例如通过光刻法和干法刻蚀法, 在第二绝缘膜 22 和第一绝缘膜 21 中配置沟槽 30。在第一绝缘膜 21 中, 可以配置用于刻蚀沟槽 30 的停止层 (未示出)。

[0122] 配置了沟槽 30 之后, 如图 13 所示, 在第一电极 13 和第二绝缘膜 22 上, 例如通过蒸发法形成有机层 14 的空穴注入层 14A 和空穴输送层 14B。此时, 空穴注入层 14A 和空穴输送层 14B 在沟槽 30 内的厚度 t1 被减薄至约为其沟槽 30 外厚度 t2 的十分之一。因此, 增大了空穴注入层 14A 和空穴输送层 14B 在沟槽 30 内的电阻, 并且抑制了器件间区域 10A 中的驱动电流泄漏。

[0123] 随后, 如图 14 和图 15 所示, 例如通过蒸发法形成有机层 14 的发光层 14C 和电子

输送层 14D。而后,例如通过真空蒸发法形成第二电极 15。此时,由于沟槽 30 的宽度 w 例如等于或小于有机层 14 的总膜厚,具体为从 10nm 到 150nm(包括端点),所以发光层 14C 可以跨过沟槽 30 连续。从而,电子输送层 14D 和第二电极 15 可以在沟槽 30 上方保持连续而不被截断成部分,并且这可以避免第二电极 15 被沟槽 30 截断成部分的状态出现。从而,形成了图 3 和图 4 所示的有机 EL 器件 10R、10G 和 10B。

[0124] 随后,如图 4 所示,例如通过 CVD 法或溅射法,在有机 EL 器件 10R、10G 和 10B 上形成由上述材料制成的保护膜 16。

[0125] 此外,再如图 4 所示,例如在由上述材料制成的密封基板 40 上形成由上述材料制成的遮光膜 42。随后,通过旋转涂布等将红色滤光片 41R 的材料涂覆在密封基板 40 上。通过光刻技术来图案化该产物,再经烧制,从而形成红色滤光片 41R。而后,以与红色滤光片 41R 相同的方式相继形成蓝色滤光片(未示出)和绿色滤光片 41G。

[0126] 在此之后,再如图 4 所示,在保护膜 16 上形成粘附层 17,并且将密封基板 40 与保护层 16 贴合,且其间介有粘附层 17。从而,制成了图 1 至图 4 所示的显示单元。

[0127] 在该显示单元中,从扫描线驱动电路 130 通过写入晶体管 Tr2 的栅电极向各像素提供扫描信号,并且来自信号线驱动电路 120 的图像信号通过写入晶体管 Tr2 而被保持在保持电容 Cs 中。即,根据保持在保持电容 Cs 中的信号来控制驱动晶体管 Tr1 导通 / 截止,从而将驱动电流 Ids 注入各有机 EL 器件 10R、10G 和 10B 中,产生电子 - 空穴复合,并因此发光。光从第二电极 15、保护膜 16、粘附层 17、彩色滤光片 41 和密封基板 40 透过(顶发光),并被提取出。

[0128] 在该情况下,在多个有机 EL 器件 10R、10G 和 10B 之间的器件间区域 10A 中配置绝缘膜 20(第一绝缘膜 21 和第二绝缘膜 22)。绝缘膜 20 在相邻有机 EL 器件 10R 和 10G(相邻有机 EL 器件 10G 和 10B、或相邻有机 EL 器件 10B 和 10R) 之间的位置处具有沟槽 30。因此,有机层 14 中具有较高导电性的层(诸如空穴注入层 14A 和空穴输送层 14B) 在沟槽 30 内的厚度 t_1 小于其沟槽 30 外厚度 t_2 ,并增大了沟槽 30 内的电阻。从而,抑制了相邻有机 EL 器件 10R、10G 和 10B 之间的驱动电流泄漏。

[0129] 如上所述,在本实施方式的显示单元中,在多个有机 EL 器件 10R、10G 和 10B 之间的器件间区域 10A 中配置绝缘膜 20(第一绝缘膜 21 和第二绝缘膜 22)。绝缘膜 20 中,在相邻有机 EL 器件 10R 和 10G(或相邻有机 EL 器件 10G 和 10B、或相邻有机 EL 器件 10B 和 10R) 之间的位置处配置沟槽 30。从而,可以抑制相邻有机 EL 器件 10R、10G 和 10B 之间的驱动电流泄漏。此外,不同于现有显示单元,它在蒸发步骤过程中,不需要对倒锥形分隔壁进行热处理以将其形状改变为正锥形,因此避免了特性的下降。

[0130] 在上述实施方式中,已对层积第一绝缘膜 21 和第二绝缘膜 22 作为绝缘膜 20 的情况给予了描述。然而,可以省去第二绝缘膜 22,并且仅配置第一绝缘膜 21 作为绝缘膜 20。

[0131] [第二实施方式]

[0132] 图 16 示出了在根据本公开第二实施方式的显示单元中的显示区 110 的沟槽 30 附近的区域的经放大后的截面结构。在本实施方式中,空穴注入层 14A 和空穴输送层 14B 在沟槽 30 内的厚度 t_1 随着其在沟槽 30 中的位置变深而变薄。因此,在本实施方式中,可以更多地增加空穴注入层 14A 和空穴输送层 14B 的电阻,并且可以更好地抑制相邻有机 EL 器件 10R、10G 和 10B 之间的驱动电流泄漏。除了这一点,本实施方式的显示单元具有与上述

第一实施方式同样的结构、同样的功能以及同样的效果。

[0133] 例如,可以如下制造该显示单元。由于制造步骤类似于第一实施方式,故将参照图 9 至图 15 给予描述。

[0134] 首先,如图 9 所示,与第一实施方式一样,在基板 11 上形成包括像素驱动电路 140 的驱动电路层 12 和第一绝缘膜 21。

[0135] 接下来,如图 10 所示,与第一实施方式一样,在第一绝缘膜 21 上为多个有机 EL 器件 10R、10G 和 10B 中的每一个形成第一电极 13。

[0136] 随后,如图 11 所示,与第一实施方式一样,形成第二绝缘膜 22。

[0137] 在此之后,如图 12 所示,与第一实施方式一样,在第二绝缘膜 22 和第一绝缘膜 21 中配置沟槽 30。

[0138] 在配置了沟槽 30 之后,如图 13 至图 15 所示,在第一电极 13 和第二绝缘膜 22 上方,例如通过蒸发法形成有机层 14 的空穴注入层 14A、空穴输送层 14B、发光层 14C 和电子输送层 14D。

[0139] 在形成有机层 14 的步骤中,如图 17 所示,基板 11 上的沟槽 30 与蒸发源 50 之间的位置关系优选满足数学表达式 1。因此,如图 16 所示,可以使空穴注入层 14A 和空穴输送层 14B 的沟槽 30 内的厚度 t_1 随其在沟槽 30 中的位置变深而变薄。需要注意的是,在该情况下,基板 11 并不指基板 11 本身,而是指蒸发时基板 11 的表面,具体地,第二绝缘膜 22 的表面。

[0140] [数学表达式 1]

[0141] $X/Y > w/d$

[0142] 在该表达式中, X 表示从沟槽 30 的入口边缘到蒸发源 50 的偏移距离, Y 表示基板 11 与蒸发源 50 之间的距离, w 表示沟槽宽度,并且 d 表示沟槽 30 的深度。

[0143] 数学表达式 1 在图 17 中表示 $\tan \theta > \tan \alpha$, 即, $\theta > \alpha$, 其中 θ 是由从蒸发源 50 向基板 11 所引的垂线与从蒸发源 50 到沟槽 30 的入口的直线形成的角度,并且 α 是由沟槽 30 的壁表面与从沟槽 30 的入口到其底面的直线形成的角度。

[0144] 作为蒸发方法,例如可使用旋转蒸发法或线性蒸发法。旋转蒸发法是一种使用单元型蒸发源 50 并且当基板 11 在蒸发源 50 上方旋转时实现成膜的方法。此时,将蒸发源 50 布置成使得基板 11 上的沟槽 30 与蒸发源 50 之间的位置关系满足数学表达式 1。并且,只要在基板 11 旋转一周期间的部分或全部时间内满足数学表达式 1,即可达到上述减薄空穴注入层 14A 和空穴输送层 14B 的膜厚的效果。

[0145] 在旋转蒸发法中,材料被放进蒸发源的坩埚(未示出)中,并通过用加热器加热坩埚来蒸发该材料。作为坩埚的材料,期望诸如 PBN 和氧化铝的陶瓷、钽等。被蒸发的分子按照蒸发源 50 的指向性(n 值)直线飞行,并沉积在基板 11 上。在该情况下, n 值表示在给定位置处的蒸发密度 A 相对中心处的蒸发密度 A_0 的比(A/A_0),并且是近似由 $\cos n \theta$ 获得的值。

[0146] 例如,如图 19 和图 20 所示,线性蒸发法是一种使用长蒸发源 50 并且当蒸发源 50 和作为蒸发对象的基板 11 以箭头 A11 的方向相对移动时进行成膜的方法。在线状蒸发源 50 中,沿纵向配置了多个开口 51,并从各开口 51 喷出蒸发材料。通过在基板移动方向 A11 上配置限制板 52 来确定运送方向上的成膜宽度 53。此时,将蒸发源 50 布置成使得基板 11

上的沟槽 30 与蒸发源 50 之间的位置关系满足数学表达式 1。并且,只要在基板 11 通过蒸发源 50 期间的部分或全部时间内满足数学表达式 1,即可达到上述减薄空穴注入层 14A 和空穴输送层 14B 的膜厚的效果。

[0147] 此外,在形成有机层 14 的空穴注入层 14A 和空穴输送层 14B 的步骤中,由于以下原因,优选应满足数学表达式 1。空穴注入层 14A 和空穴输送层 14B 在有机层 14 中具有较高导电性,并且相邻有机 EL 器件 10R、10G 和 10B 之间容易形成漏电路路径。

[0148] 形成有机层 14 之后,如图 14 和图 15 所示,与第一实施方式一样,形成第二电极 15。从而,形成如图 3 和图 4 所示的有机 EL 器件 10R、10G 和 10B。

[0149] 随后,如图 4 所示,与第一实施方式一样,在有机 EL 器件 10R、10G 和 10B 上形成由上述材料制成的保护膜 16 和粘附层 17。将此产物与配置有彩色滤光器 41 和遮光膜 42 的密封基板 40 贴合。从而,制成了图 1 至图 4 所示的显示单元。

[0150] 图 21 是空穴注入层 14A 和空穴输送层 14B 在沟槽 30 内的厚度分布的第一仿真结果。作为仿真条件,假设了沟槽 30 的宽度 w 为 $0.4 \mu m$ 、深度 d 为 $3.0 \mu m$ 、从沟槽 30 的入口边缘到蒸发源 50 的偏移距离 X 为 $200mm$ 、基板 11 与蒸发源 50 之间的距离 Y 为 $600mm$ 、并且蒸发源 50 的指向性 n 值为 2 的一种旋转蒸发法(见图 18)。空穴注入层 14A 和空穴输送层 14B 的沟槽 30 外的厚度(目标厚度)为 $10nm$ 。

[0151] 从图 21 可看出,基板 11 上的沟槽 30 与蒸发源 50 之间的位置关系满足数学表达式 1,并且空穴注入层 14A 和空穴输送层 14B 在沟槽 30 内的厚度 t_1 直到沟槽 30 的深度 d_1 达到 $1.2 \mu m$ 之前都是恒定的。在沟槽 30 的深度 d_1 大于 $1.2 \mu m$ 的情况下(由图 21 中的虚线圈出的部分),空穴注入层 14A 和空穴输送层 14B 在沟槽 30 内的厚度 t_1 随沟槽 30 的深度变大而变小(由图 21 中的虚线圈出的部分)。

[0152] 图 22 是空穴注入层 14A 和空穴输送层 14B 在沟槽 30 内的厚度分布的第二仿真结果。作为仿真条件,假设了沟槽 30 的宽度 w 为 $0.6 \mu m$ 、深度 d 为 $2.0 \mu m$ 、运送方向上的成膜宽度 53 为 $200mm$ 、基板 11 与蒸发源 50 之间的距离 Y 为 $100mm$ 、并且蒸发源 50 的指向性 n 值为 10 的线性蒸发(见图 19 和图 20)。空穴注入层 14A 和空穴输送层 14B 在沟槽 30 外的厚度(目标厚度)为 $10nm$ 。

[0153] 从图 22 可看出,基板 11 上的沟槽 30 与蒸发源 50 之间的位置关系满足数学表达式 1,并且空穴注入层 14A 和空穴输送层 14B 在沟槽 30 内的厚度 t_1 直到沟槽 30 的深度 d_1 达到 $0.6 \mu m$ 之前都是恒定的。在沟槽 30 的深度 d_1 大于 $0.6 \mu m$ 的情况下(由图 22 中的虚线圈出的部分),空穴注入层 14A 和空穴输送层 14B 在沟槽 30 内的厚度 t_1 随沟槽 30 的深度变大而变小。

[0154] 图 23 是空穴注入层 14A 和空穴输送层 14B 在沟槽 30 内的厚度分布的第三仿真结果。作为仿真条件,假设了沟槽 30 的宽度 w 为 $0.6 \mu m$ 、深度 d 为 $1.5 \mu m$ 、从沟槽 30 的入口边缘到蒸发源 50 的偏移距离 X 为 $150mm$ 、基板 11 与蒸发源 50 之间的距离 Y 为 $500mm$ 、并且蒸发源 50 的指向性 n 值为 2 的旋转蒸发法(见图 18)。空穴注入层 14A 和空穴输送层 14B 在沟槽 30 外的厚度(目标厚度)为 $10nm$ 。

[0155] 从图 23 可看出,基板 11 上的沟槽 30 与蒸发源 50 之间的位置关系不满足数学表达式 1,并且空穴注入层 14A 和空穴输送层 14B 在沟槽 30 内的厚度 t_1 即使在沟槽 30 的深度变得很大之后都是恒定的。然而,空穴注入层 14A 和空穴输送层 14B 在沟槽 30 内的厚度

t_1 被减薄至约为其沟槽 30 外厚度 t_2 的十分之一, 这意味着获得了通过沟槽 30 减薄膜厚的效果。

[0156] 即, 可以发现, 在形成有机层 14 的步骤中满足了数学表达式 1 的情况下, 可以更多地减薄空穴注入层 14A 和空穴输送层 14B 在沟槽 30 内的厚度 t_1 、可以更多地增大电阻、并且可以更好地抑制相邻有机 EL 器件 10R、10G 和 10B 之间的驱动电流泄漏。

[0157] [第三实施方式]

[0158] 图 24 示出了在根据本公开第三实施方式的显示单元中的显示区的一部分的平面结构。在本实施方式中, 为多个有机 EL 器件 10R、10G 和 10B 的各行在列方向上配置沟槽 30。从而, 抑制了第二电极 15 的电压降, 并提高了图像质量。除了这一点, 本实施方式的显示单元具有与上述第一或第二实施方式同样的结构、同样的功能和同样的效果, 并且可被类似地制造。

[0159] 例如, 在相邻有机 EL 器件 10R、10G 和 10B 的列与列之间的区域配置具有与有机 EL 器件 10R、10G 和 10B 的长边几乎相同的长度的各沟槽 30。沟槽 30 之间在列方向上具有间距 L 。

[0160] 图 25 示出了在本实施方式中第二电极 15 的等效电路, 并且示出了在重叠在该等效电路上的右上区域 AW 显示白且其他区域 AG 显示灰的情况下显示状态。在本实施方式的第二电极 15 的等效电路中, 电阻元件在列方向和行方向两个方向上被连接成格子状。因此, 白显示区 AW 的电压降 ΔV_1 近似等于灰显示区 AG 的电压降 ΔV_2 ($\Delta V_1 \approx \Delta V_2$)。从而, 显示均匀的灰色。

[0161] 同时, 图 26 示出了在第一实施方式中第二电极 15 的等效电路, 并且示出了在重叠在该等效电路上的右上区域 AW 显示白且其他区域 AG 显示灰的情况下显示状态。在第一实施方式的第二电极 15 的等效电路中, 电阻元件仅在列方向上被连接, 并未在行方向上被连接。因此, 白显示区 AW 的电压降 ΔV_1 大于灰显示区 AG 的电压降 ΔV_2 ($\Delta V_1 > \Delta V_2$)。从而, 减小了在白显示区 AW 上下的有机 EL 器件 10R、10G 和 10B 中流通的驱动电流 I_{ds} (见图 27), 并在相对于白显示区 AW 的纵向上发生暗串扰 CT。串扰 CT 与正常灰显示区 AG 之间的亮度差约为 10%。电流 I_{ds} 由数学表达式 2 来表示。

[0162] [数学表达式 2]

$$[0163] I_{ds} = \left(V_{sig} - \frac{C_p}{C_s + C_p} \Delta V_{cath} \right)^2$$

[0164] 图 28 和图 29 示出了在改变各沟槽 30 之间的列方向上的间距 L (见图 24) 和第二电极 15 的 Mg-Ag 合金层厚度的情况下, 第二电极 15 的列方向上的电阻 R_1 和第二电极 15 的行方向上的电阻 R_2 的仿真结果。

[0165] 从图 29 可以看出, 在为多个有机 EL 器件 10R、10G 和 10B 的各行配置沟槽 30 的本实施方式中, 与为多个有机 EL 器件 10R、10G 和 10B 的多个行连续配置沟槽 30 的第一实施方式相比, 第二电极 15 的行方向上的电阻 R_2 明显被降低。即, 可以发现, 在为多个有机 EL 器件 10R、10G 和 10B 的各行在列方向上配置沟槽 30 的情况下, 可能降低第二电极 15 的行方向上的电阻 R_2 。

[0166] 此外, 将沟槽 30 之间的列方向上的间距 L 为 $1.0 \mu m$ 的情况与沟槽 30 之间的列方向上的间距 L 为 $2.4 \mu m$ 的情况相比较, 在间距 L 为 $2.4 \mu m$ 的情况下第二电极 15 的行方向

上的电阻 R2 更低。即,可以发现,在沟槽 30 之间的列方向上的间距 L 较宽的情况下,可能降低第二电极 15 的行方向上的电阻 R2。

[0167] 图 30 示出了在与图 28 一样改变沟槽 30 之间的列方向上的间距 L(见图 24) 和第二电极 15 的 Mg-Ag 合金层厚度的情况下,电压降的仿真结果。作为仿真条件,假设显示区 110 的整个表面上的电流值为 15mA,仅点亮了通过分割显示区 110 而获得的 25 个块中的两个块。因此,流通的电流为 $15mA/25*2 = 1.2mA$ 。电压降是电流流通的列中的电压 V1 与电流不流通的列中的电压 V2 之间的差 (V1-V2)。并且,在图 30 中,串扰成为视觉上可容许水平的程度的基准值是 20mV。

[0168] 从图 30 可以看出,在为多个有机 EL 器件 10R、10G 和 10B 的各行配置沟槽 30 的本实施方式中,与为多个有机 EL 器件 10R、10G 和 10B 的多个行连续配置沟槽 30 的第一实施方式相比,电压降明显被减小。即,可以发现,在为多个有机 EL 器件 10R、10G 和 10B 的各行在列方向上配置沟槽 30 的情况下,可以减小电压降,并且可以抑制图像质量的下降。

[0169] 此外,若在沟槽 30 之间的列方向上的间距 L 为 $1.0 \mu m$ 的情况、沟槽 30 之间的列方向上的间距 L 为 $2.15 \mu m$ 的情况、以及沟槽 30 之间的列方向上的间距 L 为 $2.4 \mu m$ 的情况下进行比较,则在间距 L 较宽的情况下,电压降较低。在各沟槽 30 之间的列方向上的间距 L 为 $1.0 \mu m$ 的情况下,为获得等于或小于基准值的串扰,第二电极 15 的 Mg-Ag 合金层的厚度可能要等于或大于 $4.6nm$ 。同时,在沟槽 30 之间的列方向上的间距 L 为 $2.15 \mu m$ 的情况下以及在沟槽 30 之间的列方向上的间距 L 为 $2.4 \mu m$ 的情况下,即便第二电极 15 的 Mg-Ag 合金层的厚度为 $4.0nm$,串扰也等于或小于基准值。即,可以发现,在沟槽 30 之间的列方向上的间距 L 较宽的情况下,可以减小电压降以提高图像质量。

[0170] [第四实施方式]

[0171] 图 31 示出了在根据本公开第四实施方式的显示单元中的显示区的一部分的截面结构。根据第四实施方式的显示单元,除了沟槽 30 是由第一绝缘膜 21 的第一沟槽 31 和第二绝缘膜 22 的第二沟槽 32 以两步骤方式构成的之外,具有与上述第一至第三实施方式类似的结构、类似的功能和类似的效果,并且可以与上述第一至第三实施方式类似的方式来制造。

[0172] 第一绝缘膜 21 与第一实施方式一样,例如具有从 $100nm$ 至 $1000nm$ (包括端点) 的厚度,并且由氮氧化硅 (SiON) 或氧化硅 (SiO₂ 或 SiO) 构成。

[0173] 在本实施方式中,由于以下原因,第二绝缘膜 22 优选由高温形成的 SiO₂ 构成。即,在增大 SiO₂ 的膜密度的情况下,刻蚀时的速率低于第一绝缘膜 21 的刻蚀速率,从而形成遮盖部 32A。这里的高温成膜具体是指在大约从 $400^{\circ}C$ 到 $500^{\circ}C$ (包括端点) 下成膜。例如,在从 $250^{\circ}C$ 到 $350^{\circ}C$ (包括端点) 下形成第一绝缘膜 21 的 SiO₂。

[0174] 第二沟槽 32 的宽度 w2 比第一沟槽 31 的宽度 w1 窄。换句换说,在第二沟槽 32 的周边配置了突向第一沟槽 31 中心的遮蔽部 32A。从而,如图 32 所示,尽管空穴注入层 14A 和空穴输送层 14B 被附着到第二沟槽 32 的内部,但空穴注入层 14A 和空穴输送层 14B 在第二沟槽 32 与第一沟槽 31 之间的边界处被完全切断。因此,可以抑制相邻有机 EL 器件 10R、10G 和 10B 之间的驱动电流泄漏。此外,在第一实施方式中,为充分减薄空穴注入层 14A 和空穴输送层 14B 在沟槽 30 内的厚度 t1,第二沟槽 32 可能要有几百微米的深度 d。然而,本实施方式中不存在这一需要。

[0175] 例如,沟槽 32 的宽度 w2 优选等于或小于有机层 14 的总膜厚,且具体地,优选从 10nm 到 150nm(包括端点)。因此,如图 32 所示,发光层 14C 可以跨过第二沟槽 32 连续。从而,电子输送层 14D 和第二电极 15 可以在沟槽 30 上方保持连续且不被截断成部分。因此,可以避免第二电极 15 被沟槽 30 切断的现象发生,并且可以在列方向以及行方向上将沟槽配置成格子状。

[0176] 例如,可以如下制造该显示单元。由于制造步骤类似于第一实施方式,故将参照图 9 至图 15 给予描述。

[0177] 首先,如图 9 所示,与第一实施方式一样,在基板 11 上方形成包括像素驱动电路 140 的驱动电路层 12 和由 SiON 或 SiO₂ 构成的第一绝缘膜 21。

[0178] 接下来,如图 10 所示,与第一实施方式一样,在第一绝缘膜 21 上为多个有机 EL 器件 10R、10G 和 10B 的每一个形成第一电极 13。

[0179] 随后,如图 11 所示,与第一实施方式一样,形成由高温形成的 SiO₂ 构成的第二绝缘膜 22。

[0180] 在此之后,例如通过光刻法和干法刻蚀,配置穿透第二绝缘膜 22 的第二沟槽 32 并在第一绝缘膜 21 中配置第一沟槽 31。

[0181] 在配置了第二沟槽 32 之后,再对第一沟槽 31 和第二沟槽 32 进行湿法刻蚀。作为用于湿法刻蚀的化学药品,优选使用氢氟酸。从而,在湿法刻蚀速率高的第一绝缘膜 21 中增大了第一沟槽 31 的宽度 w1,同时在湿法刻蚀速率低的第二绝缘膜 22 中,第二沟槽 32 的宽度 w2 比第一沟槽 31 的宽度 w1 窄。在第二沟槽 32 的周边,形成了突向第一沟槽 31 中央的遮蔽部 32A。

[0182] 关于沟槽 30 的平面形状,可以与第一实施方式一样,遍及多个有机 EL 器件 10R、10G 和 10B 的多个行连续地配置沟槽 30。并且,可以与第三实施方式一样,为多个有机 EL 器件 10R、10G 和 10B 的各行配置沟槽 30。

[0183] 在配置了具有第一沟槽 31 和第二沟槽 32 的阶梯状沟槽 30 之后,如图 13 至图 15 所示,与第一或第二实施方式一样,在第一电极 13 和第二绝缘膜 22 上方,例如通过蒸发法形成有机层 14 的空穴注入层 14A、空穴输送层 14B、发光层 14C 和电子输送层 14D。

[0184] 在形成了有机层 14 之后,如图 14 和图 15 所示,与第一实施方式一样,形成第二电极 15。从而,形成了如图 3 和图 4 所示的有机 EL 器件 10R、10G 和 10B。

[0185] 随后,如图 4 所示,与第一实施方式一样,在有机 EL 器件 10R、10G 和 10B 上形成由上述材料制成的保护膜 16 和粘附层 17。将此产物与配置有彩色滤光器 41 和遮光膜 42 的密封基板 40 贴合。从而,制成了图 1 至图 4 所示的显示单元。

[0186] 在上述实施方式中,已对第二沟槽 32 的侧面是垂直面的情况给予了描述。然而,第二沟槽 32 的侧面可以是如图 33 所示的倒锥形状(第二沟槽 32 的宽度随着第二沟槽 32 加深而变宽)。

[0187] [第五实施方式]

[0188] 图 34 示出了在根据本公开第五实施方式的显示单元中的显示区的一部分的截面结构。图 35 示出了在图 34 所示的沟槽 30 附近的区域的放大图。在本实施方式中,在沟槽 30 的底面上配置导电膜 60。通过将导电膜 60 连接到预定电位,几乎完全抑制了相邻有机 EL 器件 10R、10G 和 10B 之间的驱动电流泄漏。并且,在本实施方式中,省去第二绝缘膜 22,

且仅配置第一绝缘膜 21 作为绝缘膜 20。除了这些点,本实施方式的显示单元具有与第一至第三实施方式类似的结构、类似的功能和类似的效果。

[0189] 如上所述,导电膜 60 被连接到诸如地电位和第二电极 15 的电位(阴极电位)的预定电位。从而,通过空穴注入层 14A 和空穴输送层 14B 传输的漏电流被短路至导电膜 60,且几乎完全抑制了相邻有机 EL 器件 10R、10G 和 10B 之间的漏电流。第二电极 15 由于以下原因而在显示区 110 以外的区域中被连接至辅助配线(未示出)。即,由于有机层 14 针对多个有机 EL 器件 10R、10G 和 10B 共同被配置,所以不可能针对各个有机 EL 器件 10R、10G 和 10B 将第二电极 15 与辅助配线连接。

[0190] 导电膜 60 是由诸如氮化钛(TiN)的导电材料制成。导电膜 60 优选是能遮挡进入驱动电路层 12 的像素驱动电路 140 的驱动晶体管 Tr1 或写入晶体管 Tr2 的光的遮光层。

[0191] 关于沟槽 30 的平面形状,可以与第一实施方式一样,遍及多个有机 EL 器件 10R、10G 和 10B 的多个行连续地配置沟槽 30。并且,可以与第三实施方式一样,为多个有机 EL 器件 10R、10G 和 10B 的各行配置沟槽 30。

[0192] 例如,可以如下制造该显示单元。由于制造步骤类似于第一实施方式,故将参照图 9 至图 15 给予描述。

[0193] 首先,如图 36A 所示,与由图 9 所示步骤表示的第一实施方式一样,在基板 11 上形成包括像素驱动电路 140 的驱动电路层 12。

[0194] 接下来,如图 36B 所示,在驱动电路层 12 上配置层间绝缘膜 61,并在层间绝缘膜 61 上形成由上述材料制成的导电膜 60。

[0195] 随后,如图 36C 所示,与由图 9 所示步骤表示的第一实施方式一样,在层间绝缘膜 61 和导电膜 60 上形成具有接触孔 21A 的第一绝缘膜 21。在此之后,再如图 36C 所示,在接触孔 21A 中形成插塞 21B。

[0196] 在形成第一绝缘膜 21 之后,如图 36D 所示,与由图 10 所示步骤表示的第一实施方式一样,在第一绝缘膜 21 上为多个有机 EL 器件 10R、10G 和 10B 中的每一个形成第一电极 13。

[0197] 在形成第一电极 13 之后,如图 37A 和图 37B 所示,通过光刻法和刻蚀在第一绝缘膜 21 中配置沟槽 30,使得沟槽 30 的底面到达导电膜 60。

[0198] 在配置了沟槽 30 之后,如图 38 所示,与由图 13 至图 15 所示步骤表示的第一或第二实施方式一样,在第一电极 13 和第一绝缘膜 21 上方,例如通过蒸发法形成有机层 14 的空穴注入层 14A、空穴输送层 14B、发光层 14C 和电子输送层 14D。

[0199] 在形成了有机层 14 之后,如图 14 和图 15 所示,与第一实施方式一样,形成第二电极 15。从而,形成了如图 3 和图 4 所示的有机 EL 器件 10R、10G 和 10B。

[0200] 随后,如图 4 所示,与第一实施方式一样,在有机 EL 器件 10R、10G 和 10B 上形成由上述材料制成的保护膜 16 和粘附层 17。将此产物与配置有彩色滤光器 41 和遮光膜 42 的密封基板 40 贴合。从而,制成了图 1 至图 4 所示的显示单元。

[0201] [模块与应用实例]

[0202] 将对上述实施方式所述的显示单元的应用实例给予描述。上述实施方式的显示单元可应用于诸如电视设备、数码相机、笔记本个人电脑、如手机等的便携式终端设备以及摄像机等的用于将外部输入的视频信号或内部生成的视频信号显示为图像或视频的任何领

域中的电子装置的显示单元。

[0203] [模块]

[0204] 例如,上述实施方式的显示单元作为如图 39 所示的模块被并入诸如后述第一和第二应用实例的电子装置中。在该模块中,例如,在基板 11 的一边上配置从密封基板 40 露出来的区域 310,并在露出的区域 310 中通过延长信号线驱动电路 120 和扫描线驱动电路 130 的配线形成外部连接端(未示出)。外部连接端可配置有用于输入和输出信号的柔性印刷电路(FPC)320。

[0205] [第一应用实例]

[0206] 图 40A 和图 40B 示出了应用上述实施方式的显示单元的拍摄装置(带有可互换镜头的单镜头反光数码相机)的外观。该拍摄装置例如具有位于相机体 411 的正面右侧的可互换拍摄镜头单元(可互换镜头)412 和位于正面左侧的由摄影者把持的手持部 413。在相机体 411 背面近似中央的部分中,配置了监视器 414。在监视器 414 的上方配置了取景器(目镜窗)415。摄影者能够观察到由拍摄镜头单元 412 导入的目标物的光像,并在取景器 415 上通过观察图像来确定照片构成。取景器 415 是由根据上述实施方式的显示单元构成的。

[0207] [第二应用实例]

[0208] 图 41 示出了应用上述实施方式的显示单元的头戴式显示器的外观。该头戴式显示器例如具有位于眼镜状显示部 421 两侧的戴在用户头上的耳挂部 422。显示部 421 是由根据上述实施方式的显示单元构成的。

[0209] 尽管已参照实施方式对本公开进行了描述,但本公开不限于上述实施方式,并且可进行各种修改。例如,在上述实施方式中,已对通过减薄空穴注入层 14A 和空穴输送层 14B 在沟槽 30 内的厚度来抑制有机发光器件 10R、10G 和 10B 之间的漏电流的情况给予了描述。然而,至少减薄了空穴注入层 14A 或空穴输送层 14B 在沟槽 30 内的厚度就足够了。并且,在有机层 14 中,空穴注入层 14A 的导电性特别高。因此,通过至少减薄空穴注入层 14A 在沟槽 30 内的厚度,即可以减小有机发光器件 10R、10G 和 10B 之间的漏电流。此外,在省去空穴输送层 14B 的情况下,通过减薄空穴注入层 14A 在沟槽 30 内的厚度,可以减小有机发光器件 10R、10G 和 10B 之间的漏电流。

[0210] 另外,在上述实施方式中,已对从第二电极 15 一侧提取发光层产生的光的情况(顶发光)作为实例给予了描述。然而,也可以从第一电极 13 一侧提取发光层产生的光(底发光)。在该情况下,第一电极 13 由 ITO、IZO(注册商标)、SnO₂ 等制成的透明电极构成。第二电极 15 由诸如金(Au)、铂(Pt)、镍(Ni)、铬(Cr)、铜(Cu)、钨(W)、铝(Al)、钼(Mo)和银(Ag)等金属元素的单质或合金构成的反射电极构成。并且,第二电极 15 可由上述反射电极和上述透明电极的复合膜构成。此外,在底发光型情况下,彩色滤光器 41 和遮光膜 42 可被配置在基板 11 一侧,例如可被配置在驱动电路层 12 与第一绝缘膜 21 之间。

[0211] 并且,例如,各层的材料、厚度、成膜方法、成膜条件等不限于上述实施方式所述那些,并且可采用其他材料、其他厚度、其他成膜方法以及其他成膜条件。

[0212] 从上述示例性实施方式以及本公开的变形例中至少可以获得以下结构。

[0213] (1) 一种显示单元,包括位于基板上的:

[0214] 多个有机 EL 器件;以及

[0215] 绝缘膜,配置在多个有机 EL 器件之间的器件间区域中,该绝缘膜包括位于彼此相邻的有机 EL 器件之间的位置中的沟槽。

[0216] (2) 根据 (1) 所述的显示单元,其中,有机 EL 器件包括:

[0217] 第一电极,针对多个有机 EL 器件中的每一个进行配置,

[0218] 有机层,针对多个有机 EL 器件而被公共地配置在第一电极和绝缘膜上,且包括空穴注入层或空穴输送层、以及发光层;以及

[0219] 第二电极,针对多个有机 EL 器件而被公共地配置在有机层上,并且

[0220] 空穴注入层或空穴输送层在沟槽内的厚度小于其在沟槽外的厚度。

[0221] (3) 根据 (2) 所述的显示单元,其中,空穴注入层或空穴输送层在沟槽内的厚度向沟槽的深度方向变小。

[0222] (4) 根据 (1) 至 (3) 中的任一项所述的显示单元,其中,多个有机 EL 器件具有在一个方向上延伸的矩形形状,并且被排列在与其短边平行的行方向上和与其长边平行的列方向上,并且

[0223] 遍及多个有机 EL 器件的多个行在列方向上连续地配置沟槽。

[0224] (5) 根据 (1) 至 (3) 中的任一项所述的显示单元,其中,多个有机 EL 器件具有矩形形状,并且被排列在与其短边平行的行方向上和与其长边平行的列方向上,并且

[0225] 针对多个有机 EL 器件的每一行在列方向上配置沟槽。

[0226] (6) 根据 (4) 或 (5) 所述的显示单元,其中,多个有机 EL 器件在行方向上的节距等于或小于约 30 μ m。

[0227] (7) 根据 (1) 至 (6) 中的任一项所述的显示单元,其中,绝缘膜包括第一绝缘膜和第二绝缘膜,第一绝缘膜被配置在基板与多个有机 EL 器件之间,并且第二绝缘膜被配置在第一绝缘膜上的器件间区域中,并且

[0228] 沟槽包括第一沟槽和第二沟槽,第一沟槽被配置在第一绝缘膜中,并且第二沟槽被配置在第二绝缘膜中,与第一沟槽相通,且具有比第一沟槽的宽度更窄的宽度。

[0229] (8) 根据 (2) 至 (6) 中的任一项所述的显示单元,包括位于沟槽的底面上的导电膜,

[0230] 其中,导电膜被连接至预定电位。

[0231] (9) 根据 (8) 所述的显示单元,其中,预定电位是地电位或第二电极的电位。

[0232] (10) 根据 (8) 或 (9) 所述的显示单元,包括:

[0233] 驱动电路,包括基板与多个有机 EL 器件之间、基板与绝缘膜之间的晶体管,

[0234] 其中,导电膜是遮光层。

[0235] (11) 根据 (1) 至 (10) 中的任一项所述的显示单元,其中,发光层是发射白光的层,并且

[0236] 有机 EL 器件包括将白光提取为红光、绿光或蓝光的彩色滤光器。

[0237] (12) 一种制造显示单元的方法,该方法包括:

[0238] 在基板上形成多个有机 EL 器件;以及

[0239] 在多个有机 EL 器件之间的器件间区域中形成绝缘膜,

[0240] 其中,在绝缘膜的形成中,在绝缘膜的彼此相邻的有机 EL 器件之间的位置处配置沟槽。

- [0241] (13) 根据 (12) 所述的制造显示单元的方法,其中,形成多个有机 EL 器件包括:
- [0242] 针对多个有机 EL 器件中的每一个形成第一电极;
- [0243] 在第一电极和绝缘膜上,针对多个有机 EL 器件公共地形成有机层,该有机层包括空穴注入层或空穴输送层、以及发光层;以及
- [0244] 在有机层上,针对多个有机 EL 器件公共地形成第二电极,并且
- [0245] 其中,在绝缘膜中配置了沟槽之后执行有机层的形成。
- [0246] (14) 根据 (13) 所述的制造显示单元的方法,其中,通过蒸发法执行有机层的形成,并且满足数学表达式 1,
- [0247] (数学表达式 1)
- [0248] $X/Y > w/d$
- [0249] 其中, X 表示从沟槽的入口边缘到蒸发源的偏移距离, Y 表示基板与蒸发源之间的距离, w 表示沟槽的宽度,并且 d 表示沟槽的深度。
- [0250] (15) 根据 (14) 所述的制造显示单元的方法,其中,在有机层的形成中,蒸发法是在旋转基板的同时进行膜的形成的旋转蒸发法,并且在旋转基板一周期间的一部分或全部时间内满足数学表达式 1。
- [0251] (16) 根据 (14) 所述的制造显示单元的方法,其中,在有机层的形成中,蒸发法是在蒸发源和基板在某个方向上相对移动的同时进行膜的形成的线性蒸发法,并且在基板通过蒸发源期间的一部分或全部时间内满足数学表达式 1。
- [0252] (17) 根据 (14) 至 (16) 中的任一项所述的制造显示单元的方法,其中,在有机层中的空穴注入层或空穴输送层的形成中,满足数学表达式 1。
- [0253] 本公开包括涉及于 2011 年 3 月 31 日在日本专利局提交的日本在先专利申请 JP 2011-079619 所公开的主题,其全部内容通过引用结合于此。
- [0254] 本领域技术人员应当理解,在所附权利要求或其等价物范围内,可根据设计需求和其他因素,进行各种修改、组合、再组合和替换。

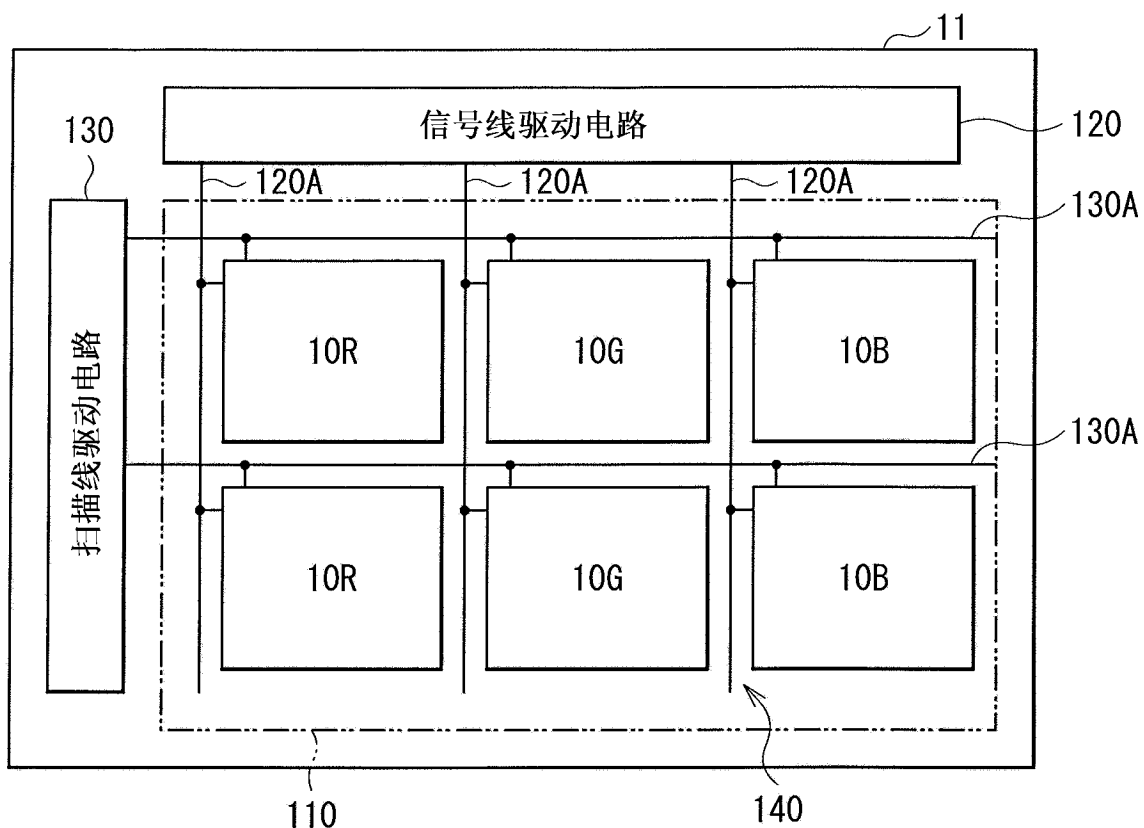


图 1

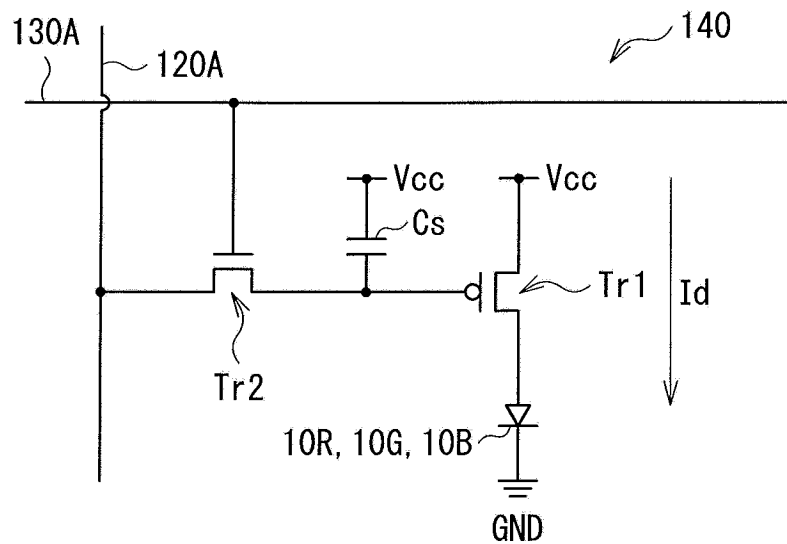
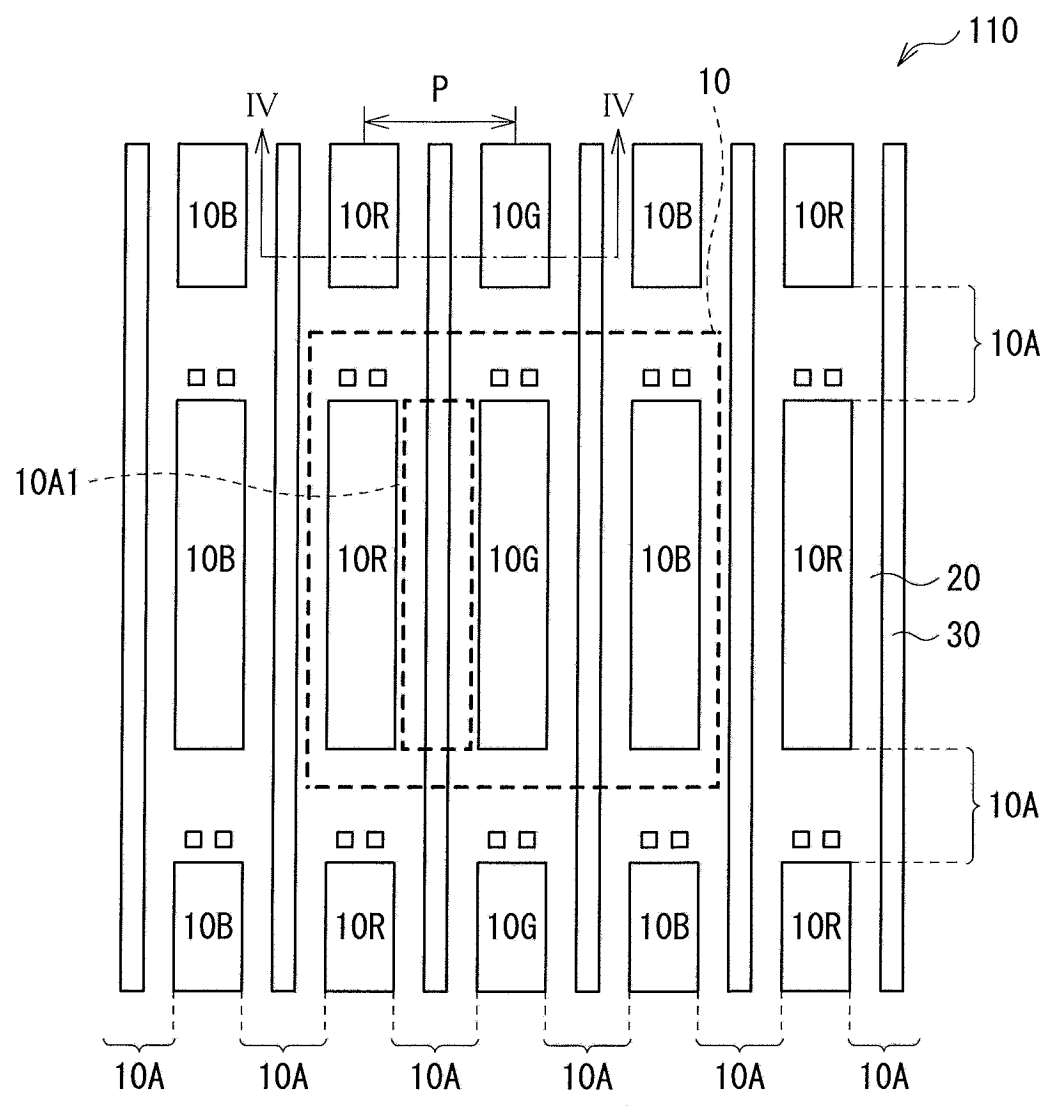


图 2



列方向
↑
层叠方向 → 行方向

图 3

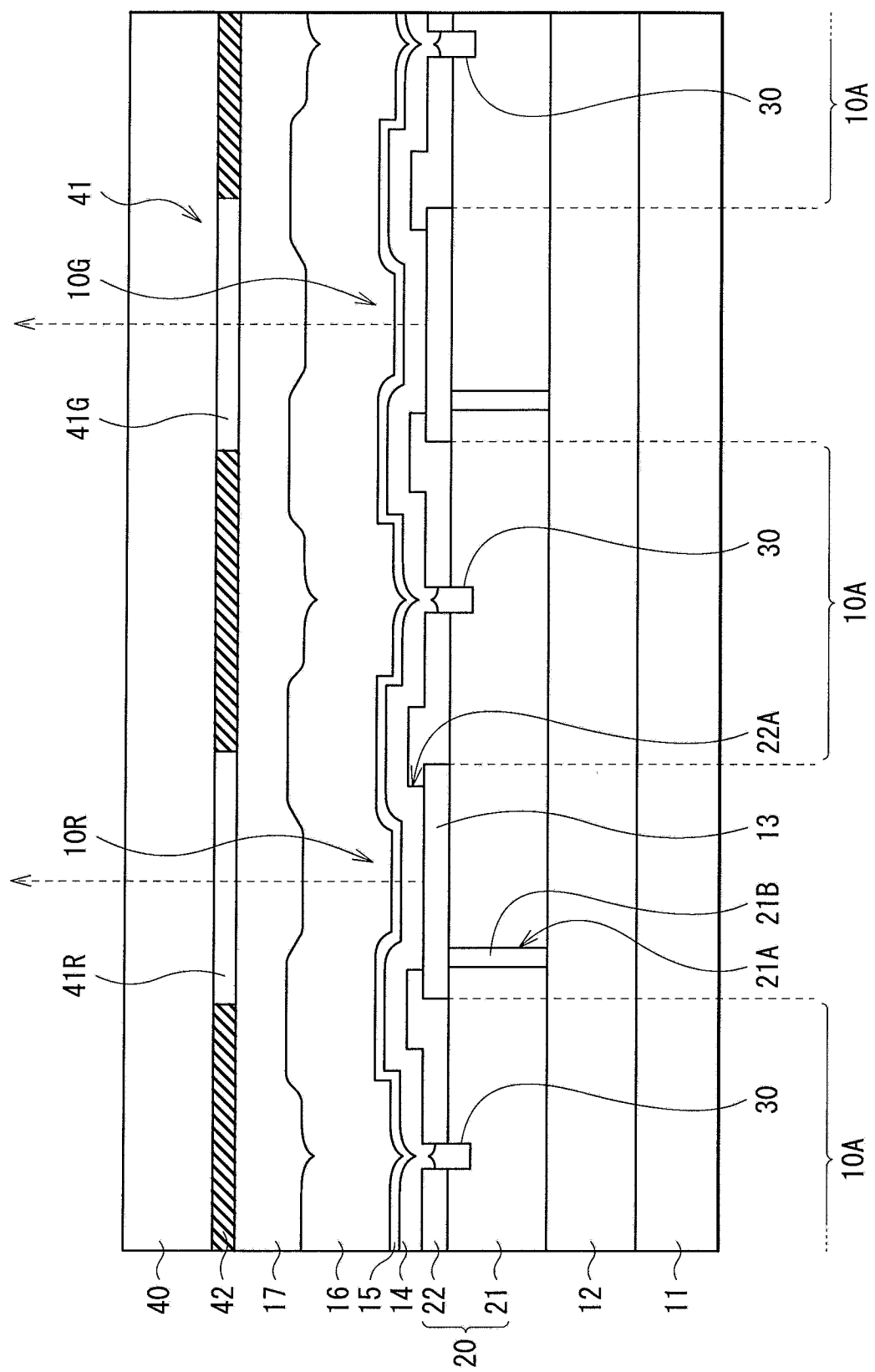


图 4

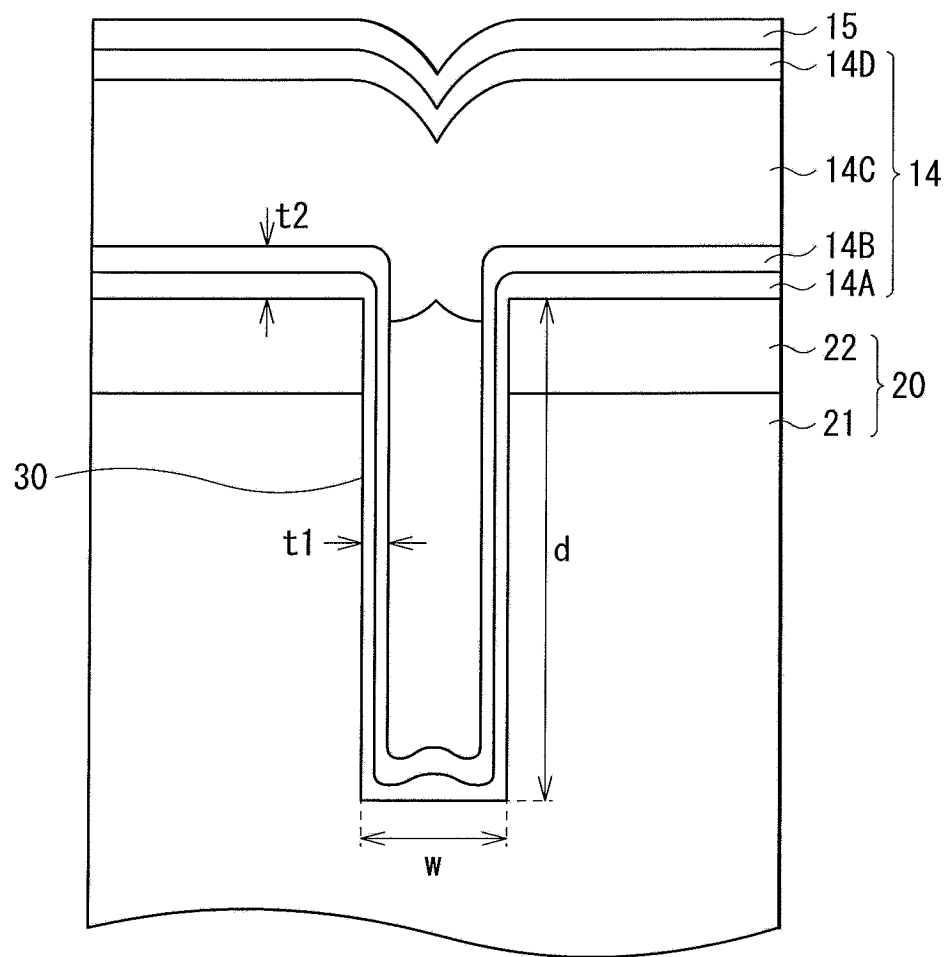


图 5

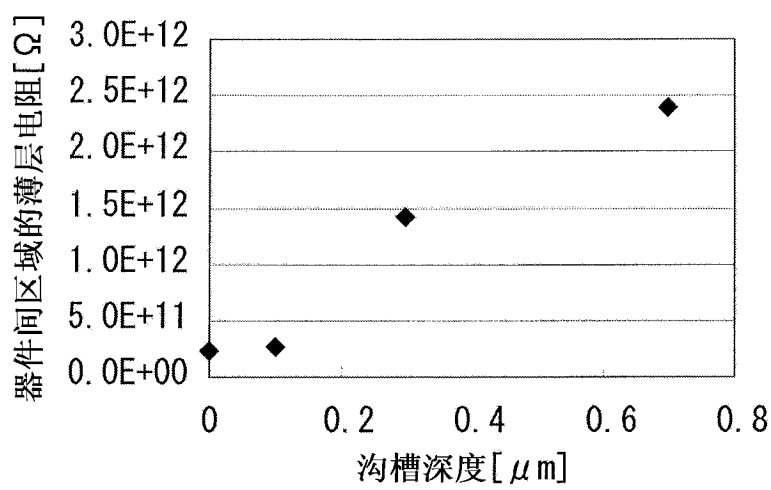


图 6

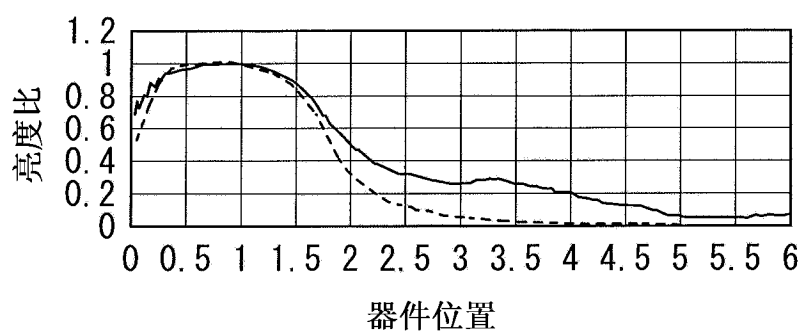


图 7A

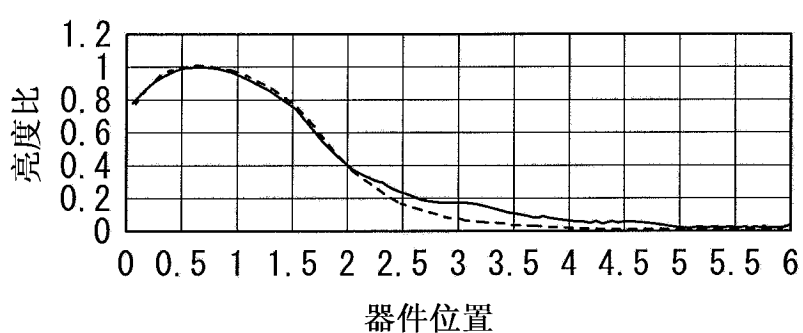


图 7B

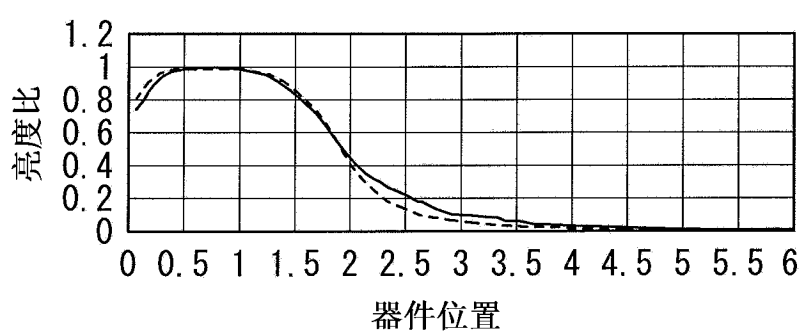


图 7C

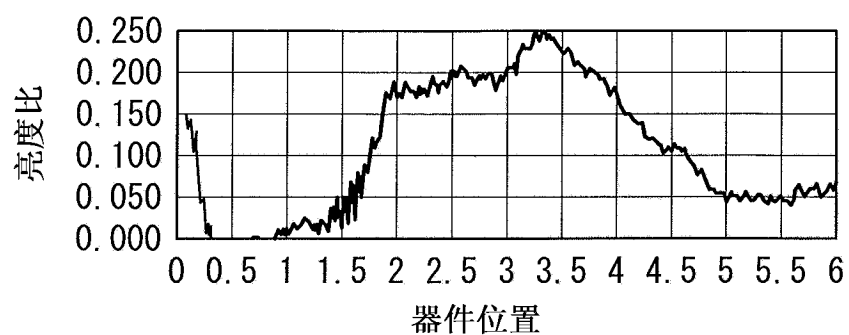


图 8A

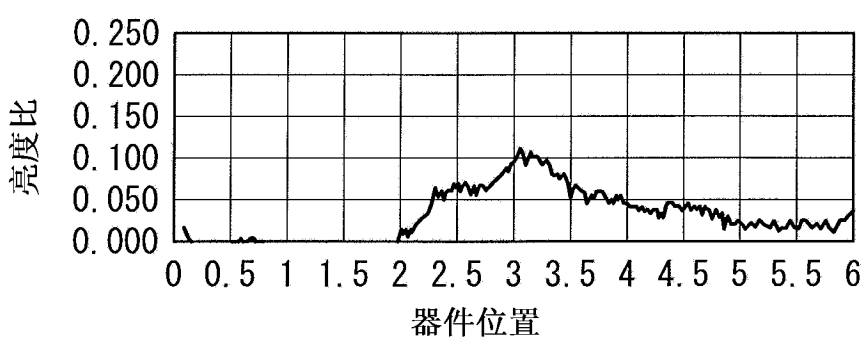


图 8B

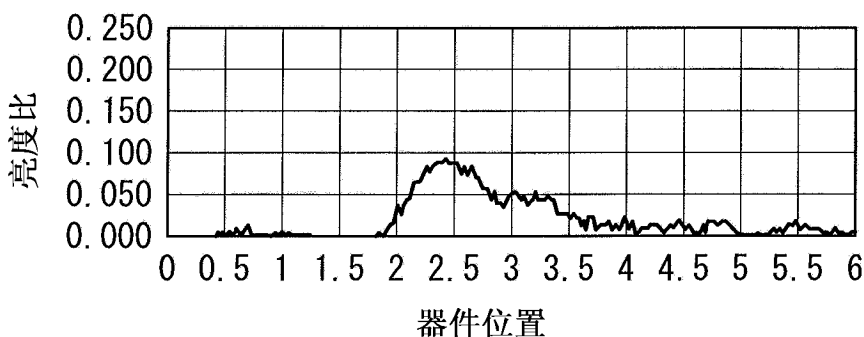


图 8C

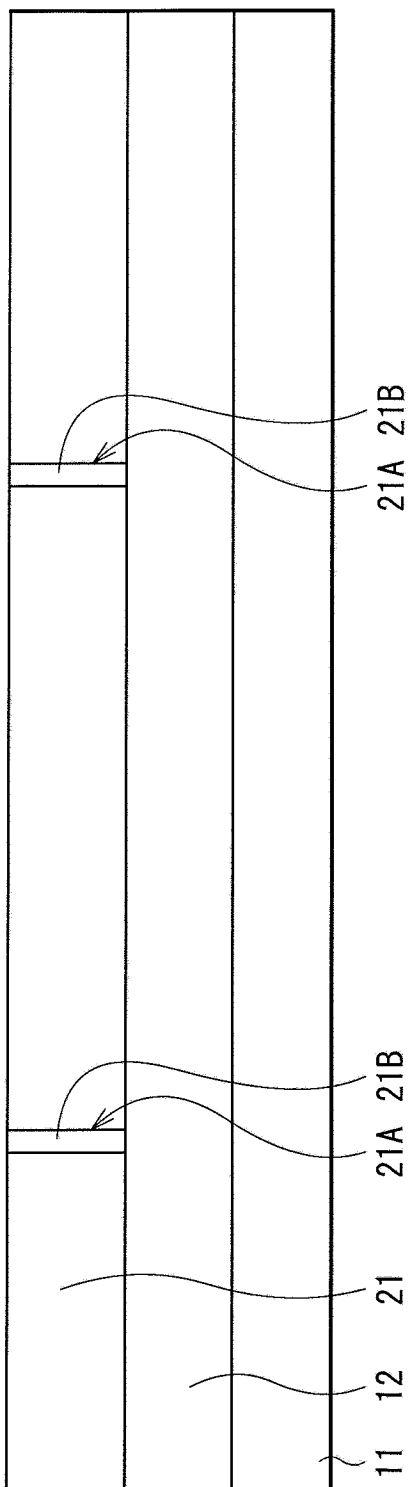


图 9

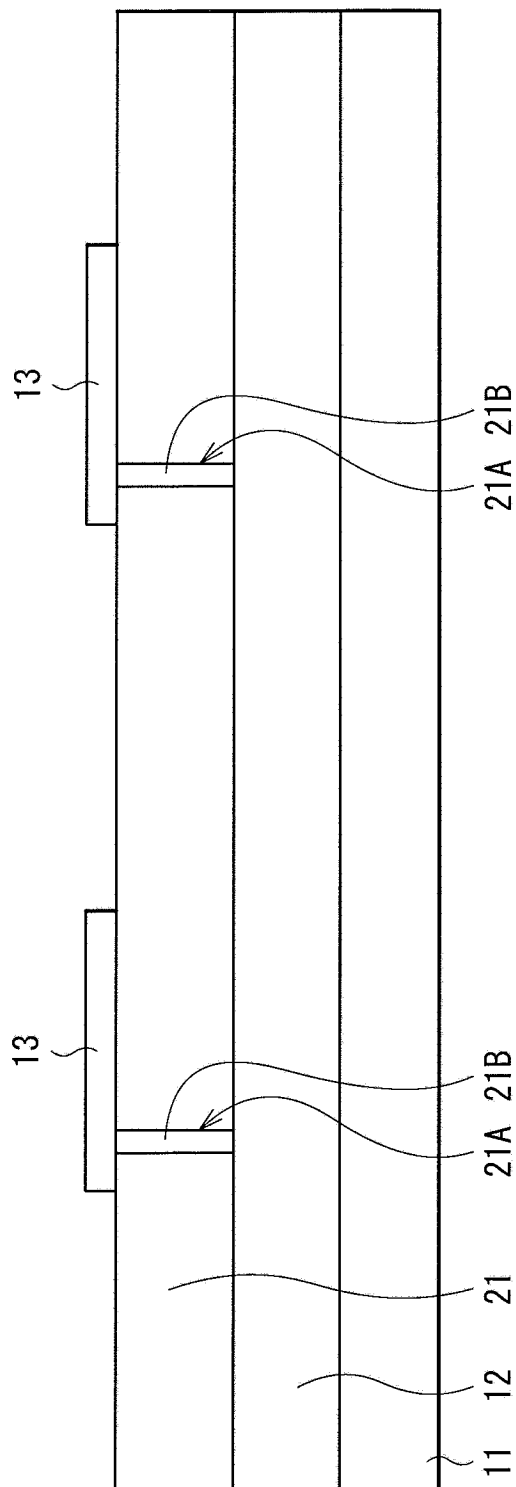


图 10

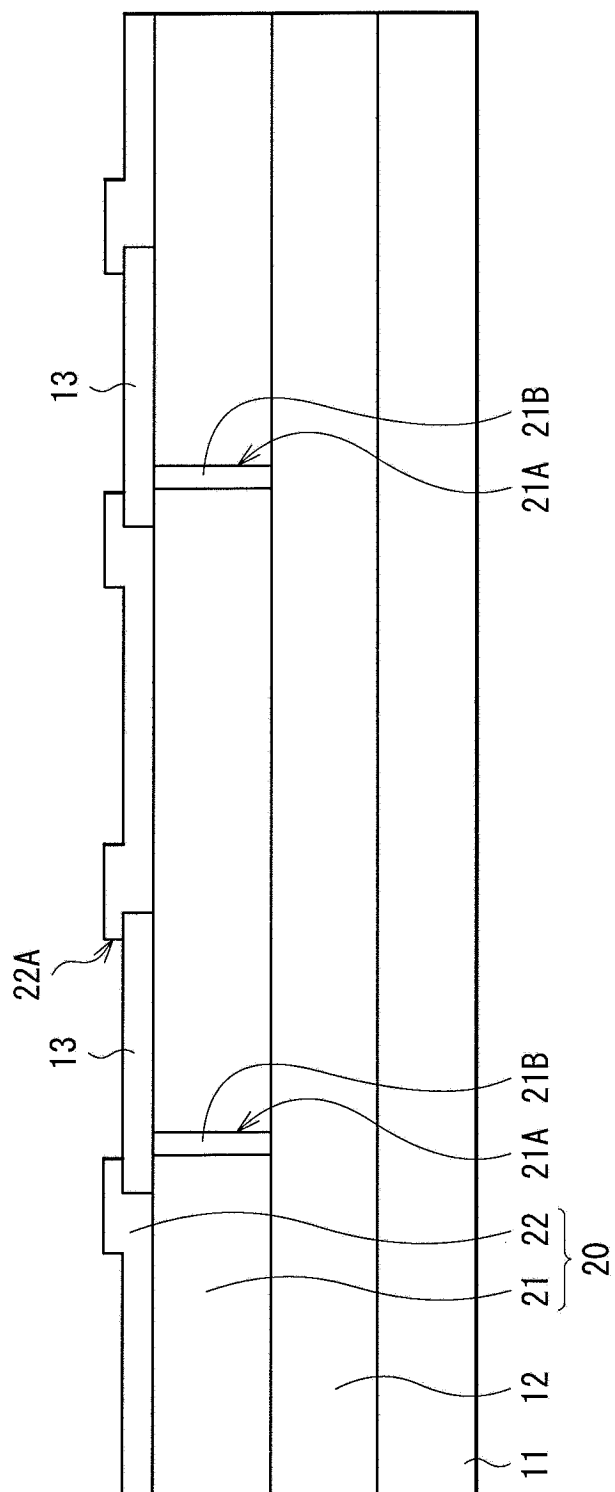


图 11

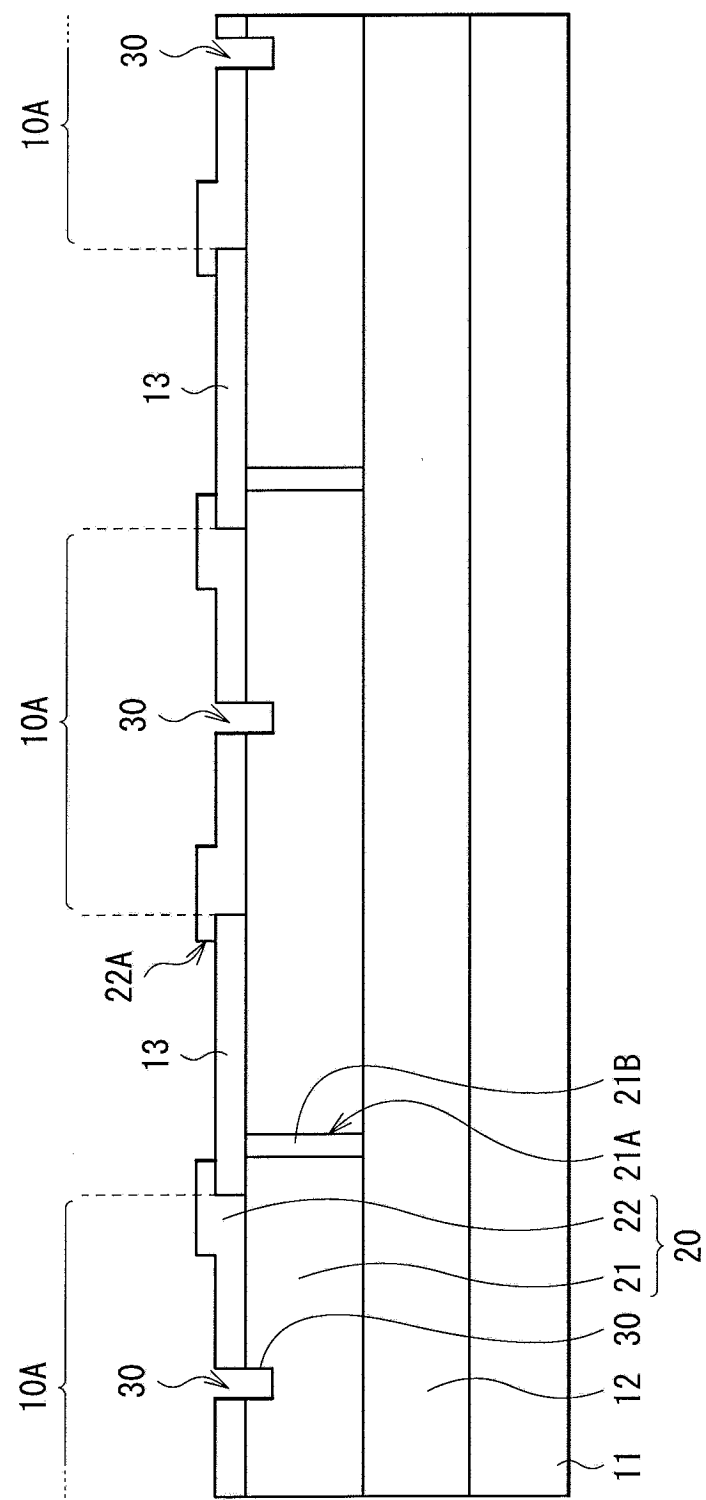


图 12

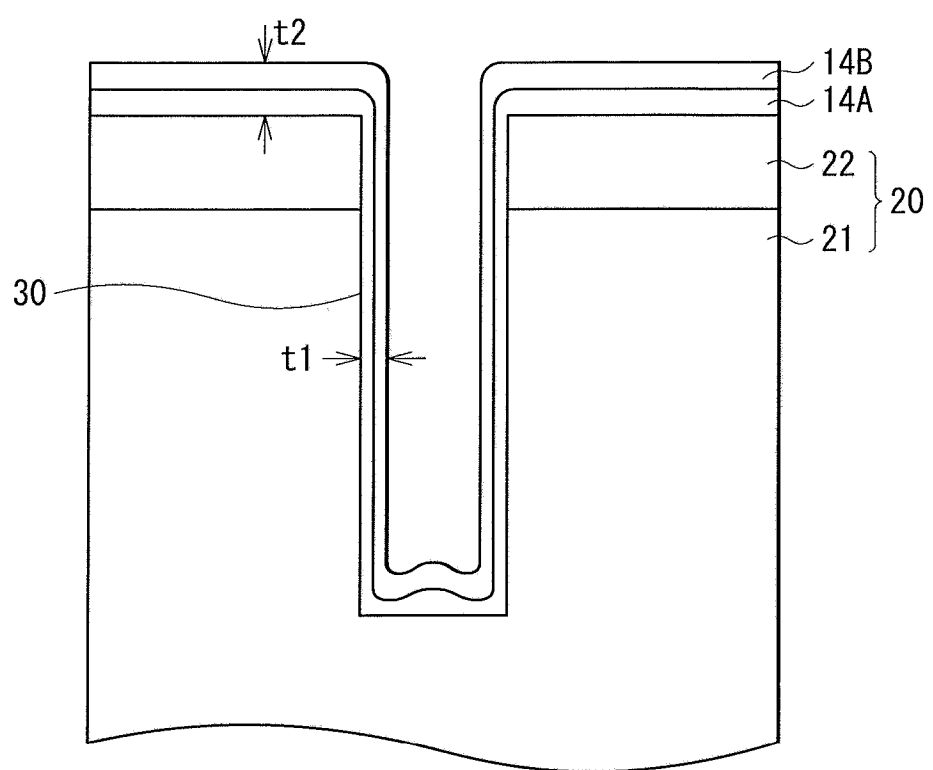


图 13

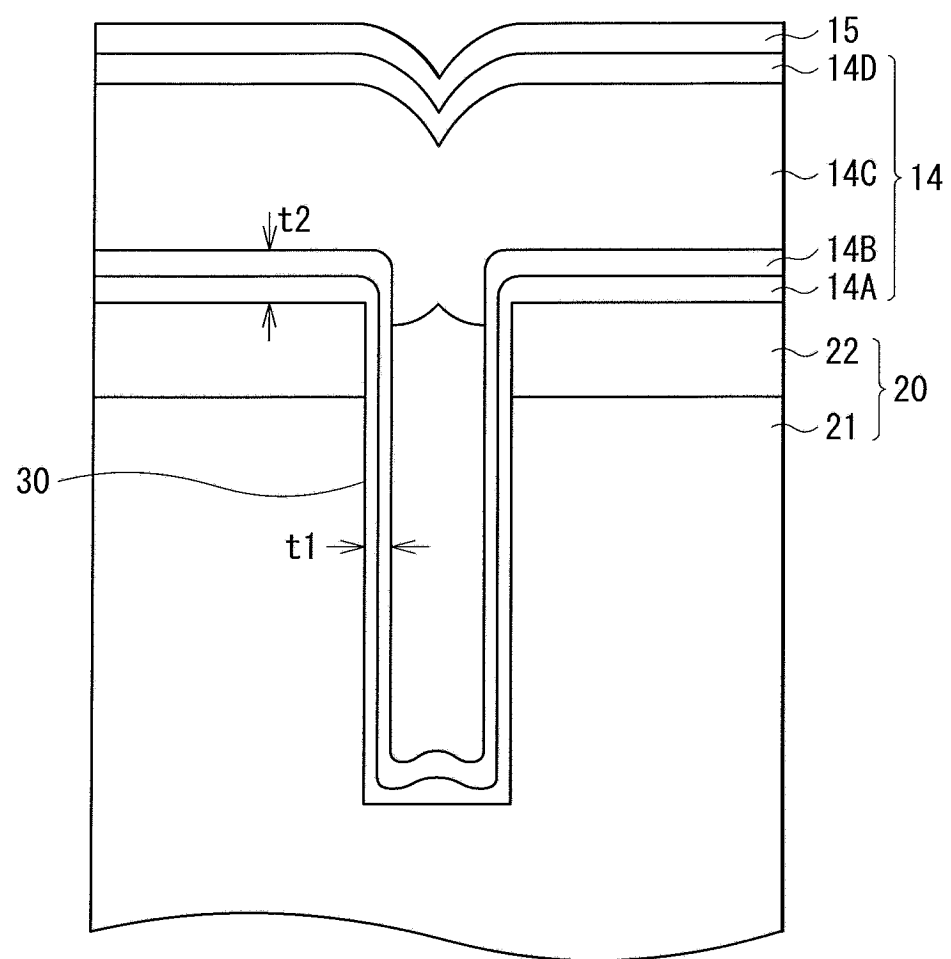


图 14

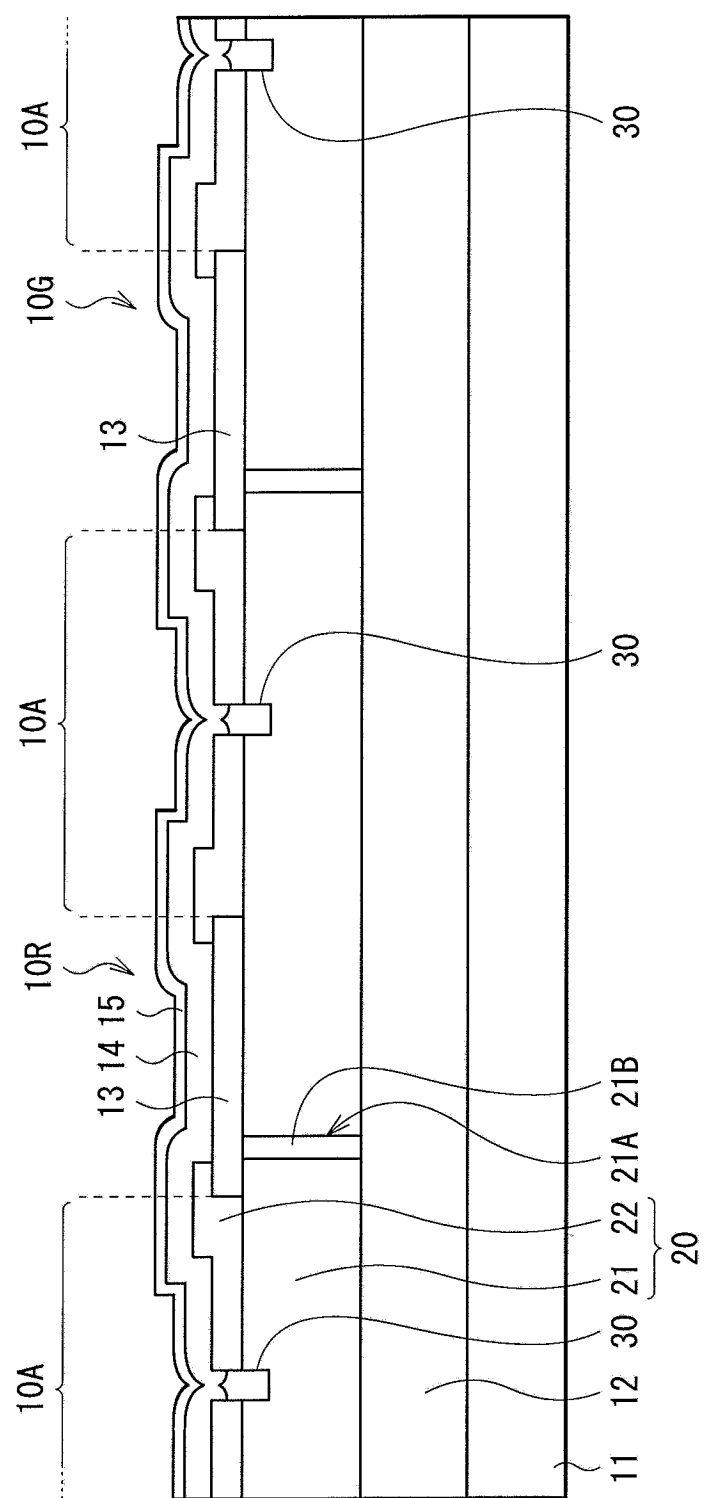


图 15

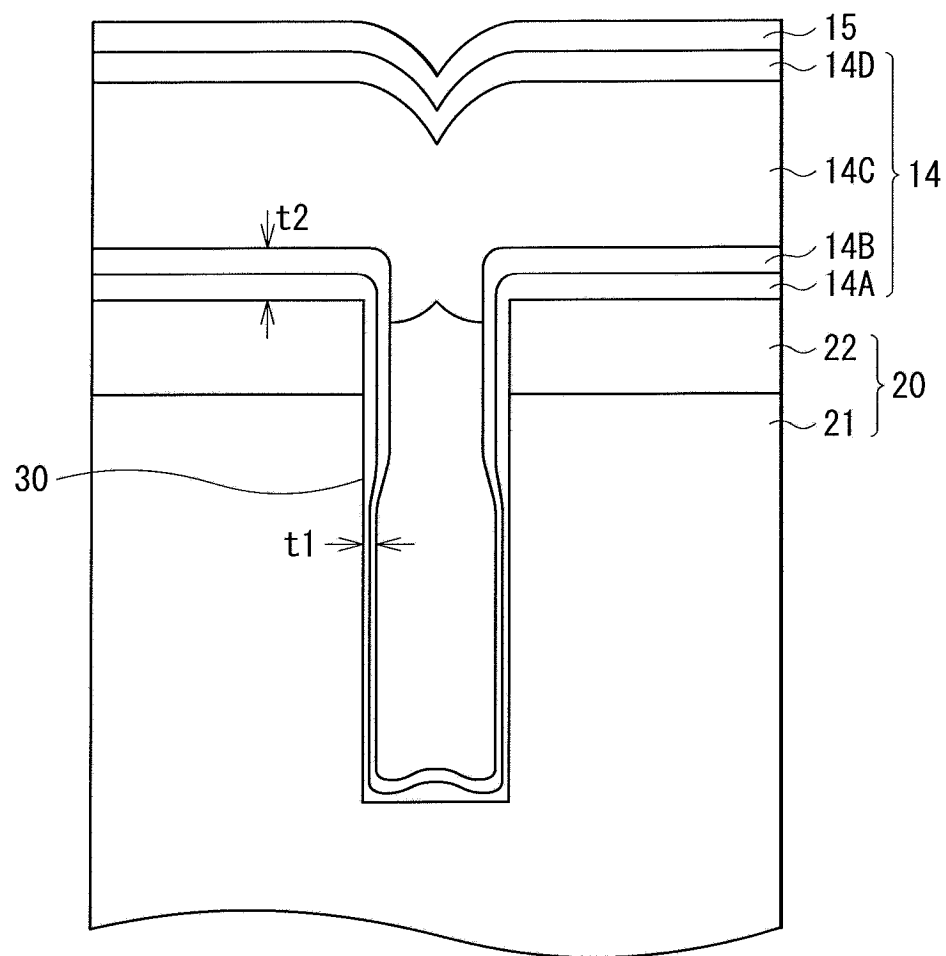


图 16

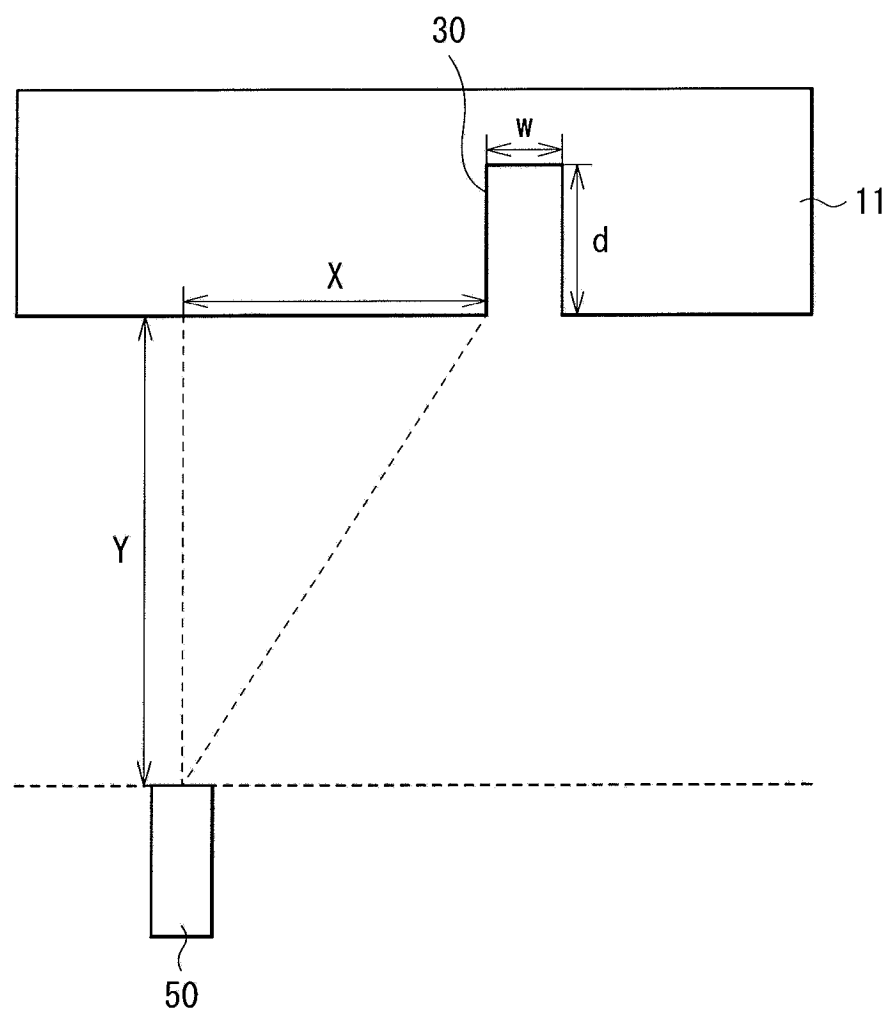


图 17

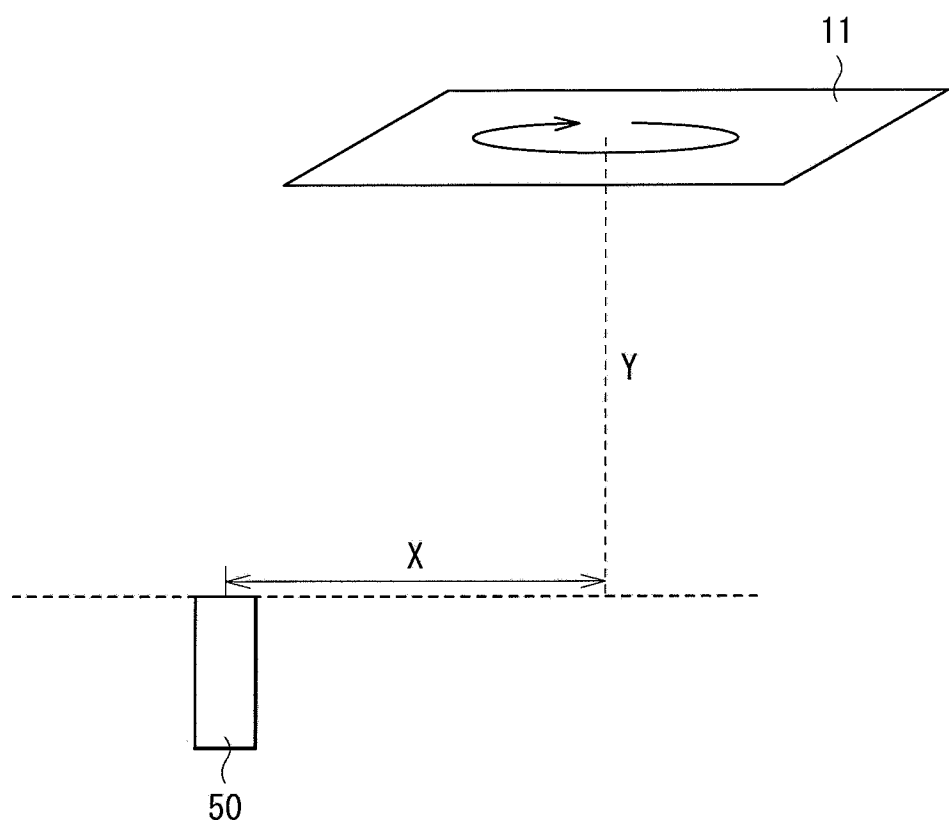


图 18

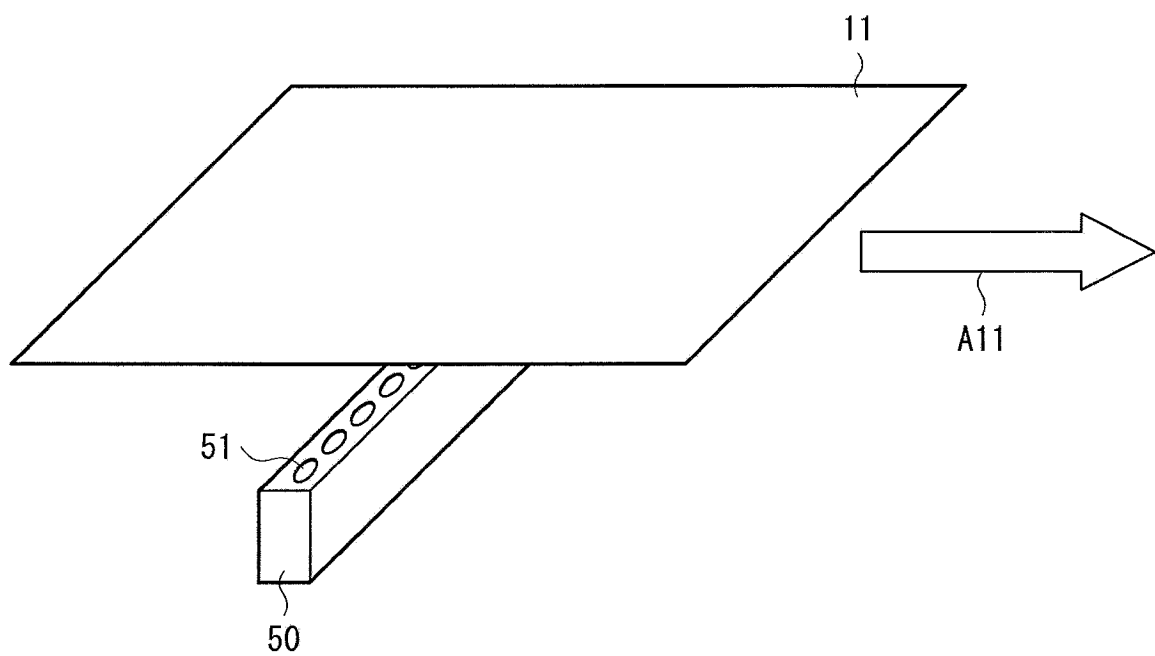


图 19

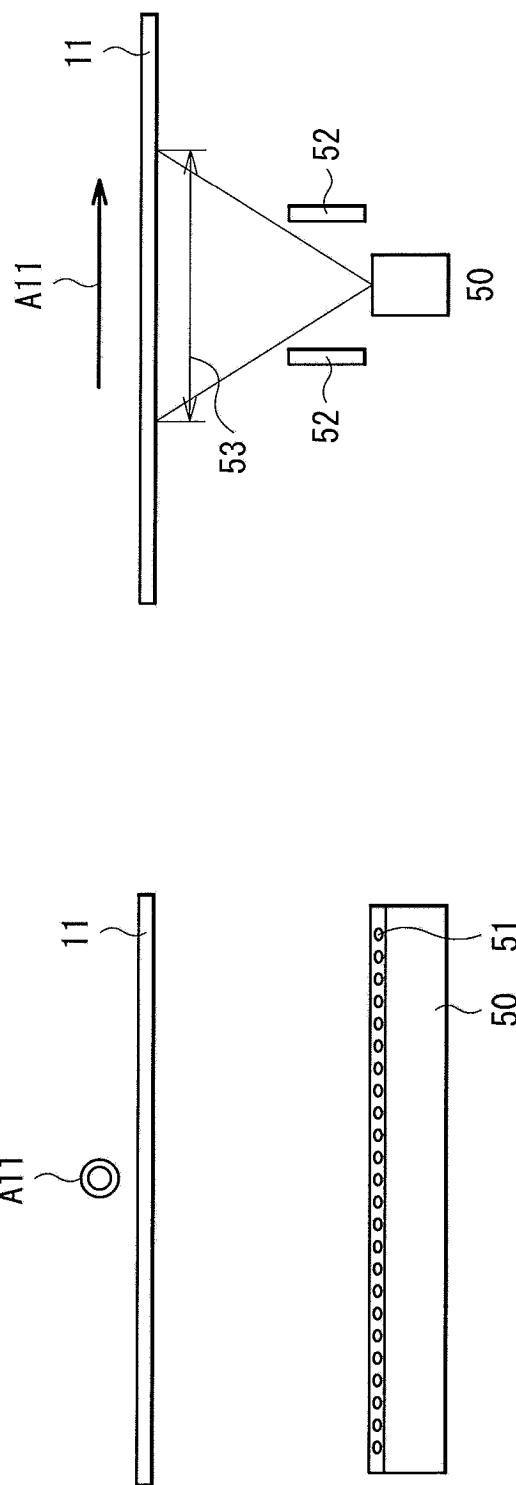


图 20

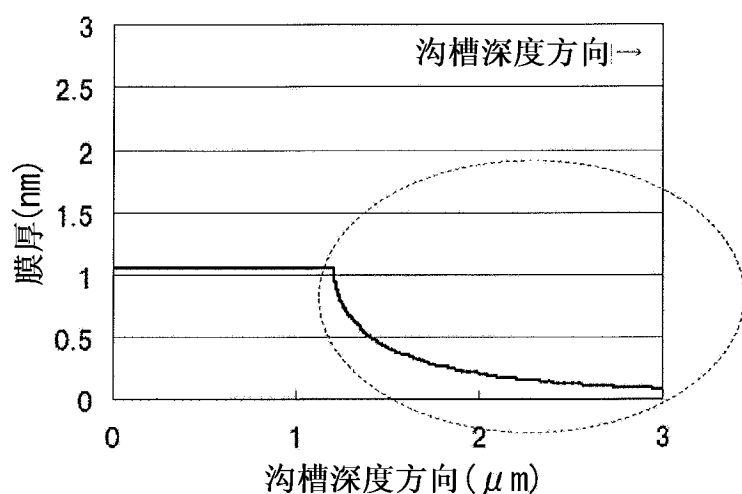


图 21

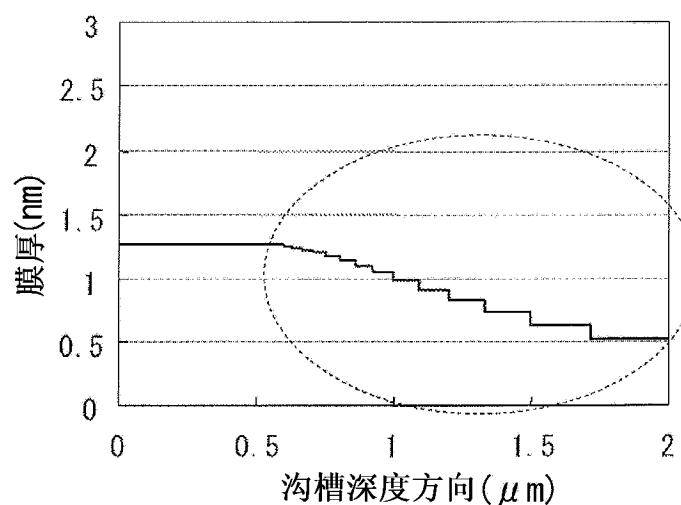


图 22

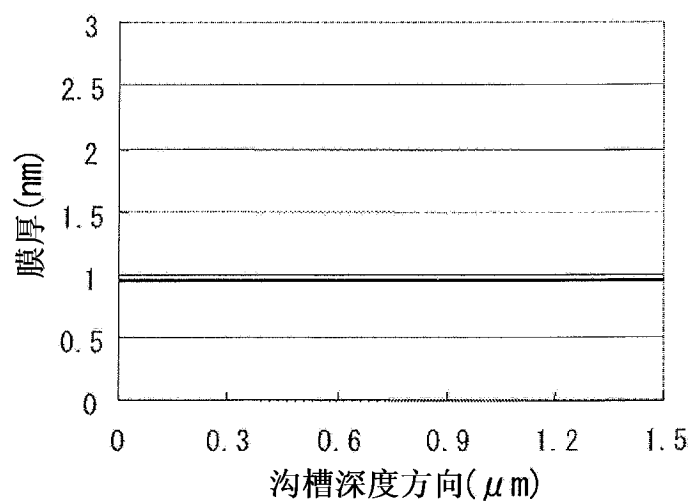
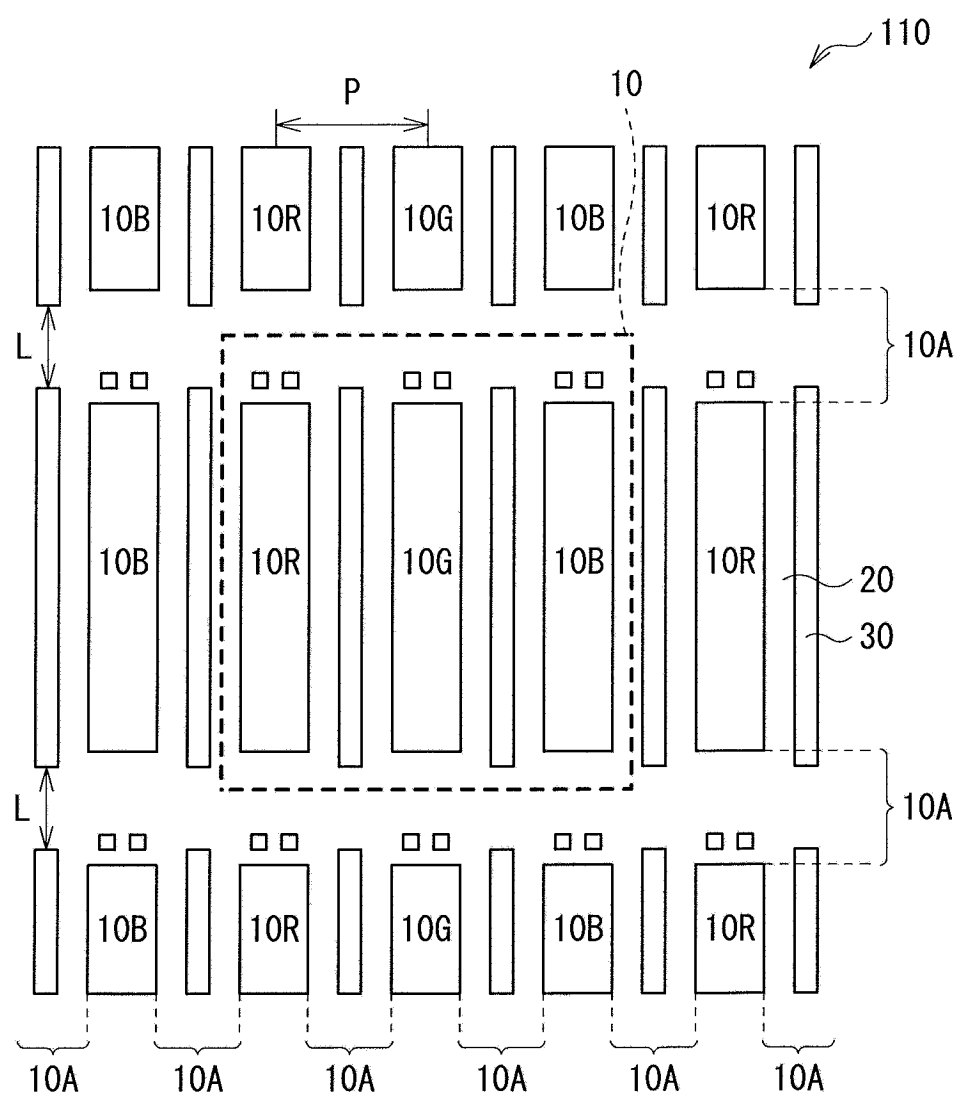


图 23



列方向
↑
层叠方向 → 行方向

图 24

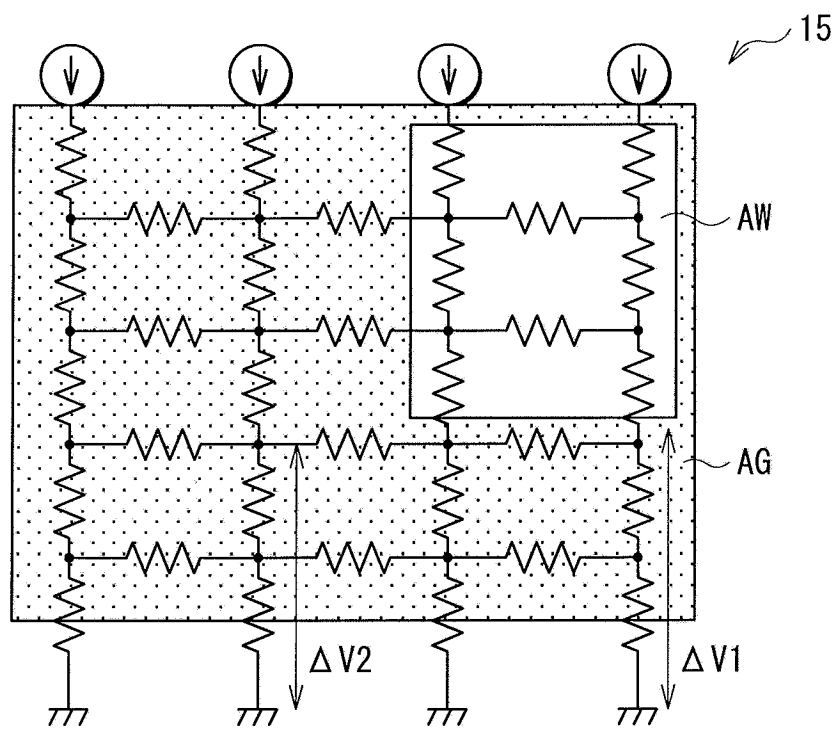


图 25

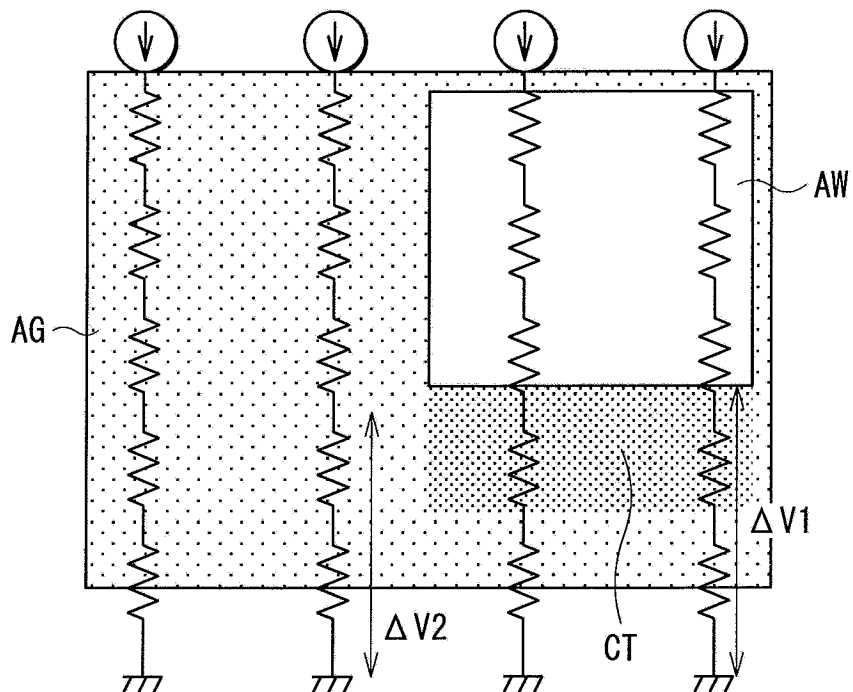


图 26

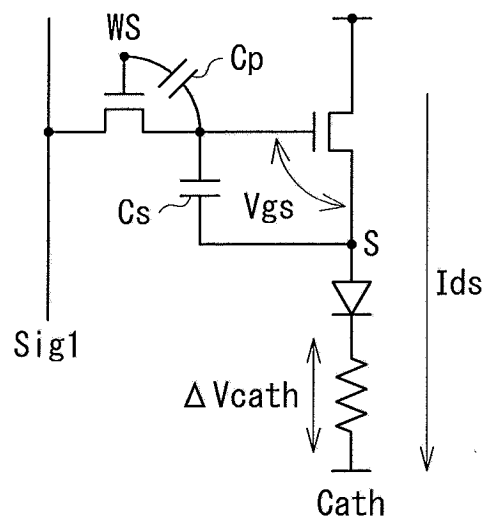


图 27

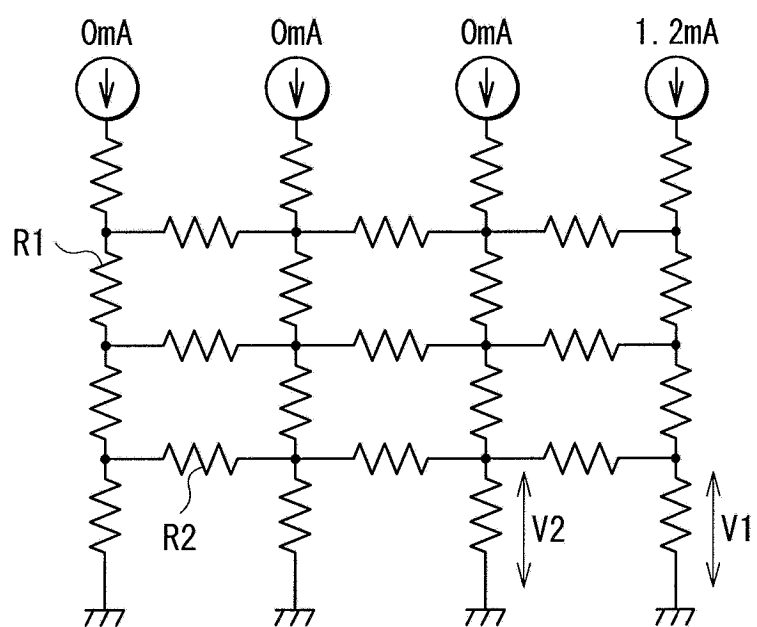


图 28

		第一 实施方式	第三实施方式	
			$L=1.0 \mu m$	$L=2.4 \mu m$
MgAg 厚度	R1	R2		
4nm	85Ω	∞	743Ω	310Ω
5nm	42.5Ω	∞	371.5Ω	155Ω
6nm	28.33Ω	∞	247.67Ω	103.33Ω
7nm	21.25Ω	∞	185.75Ω	77.5Ω
8nm	18.21Ω	∞	159.21Ω	66.43Ω

图 29

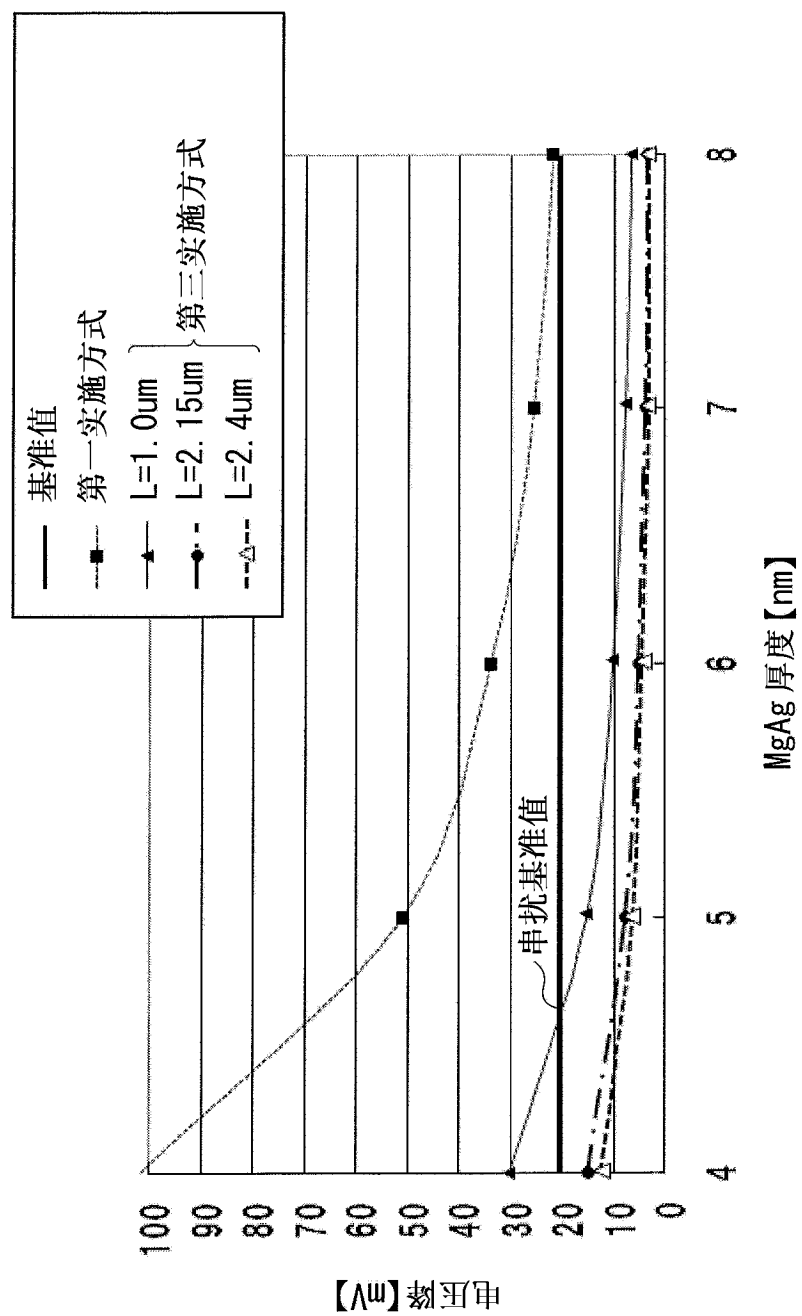


图 30

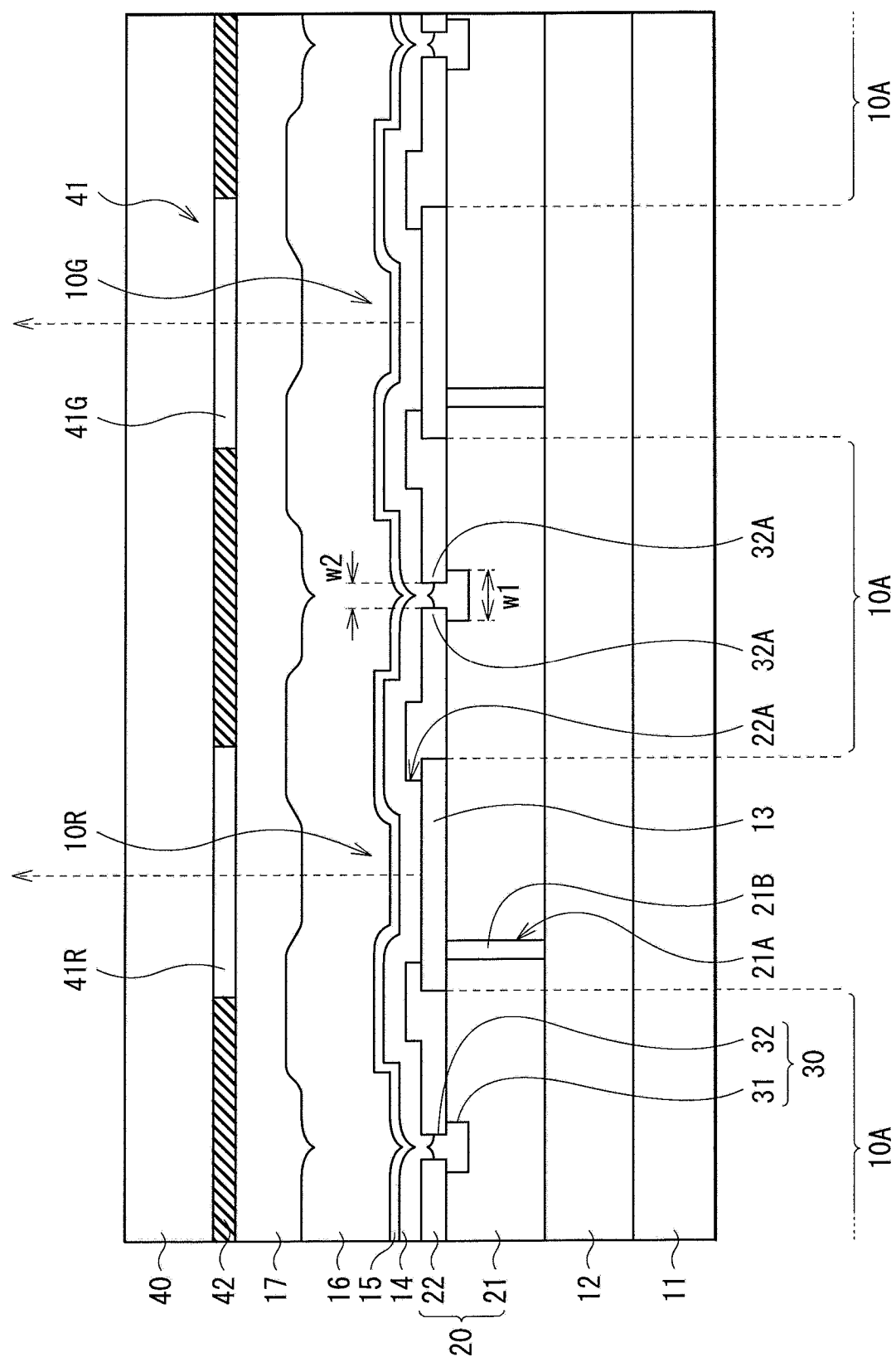


图 31

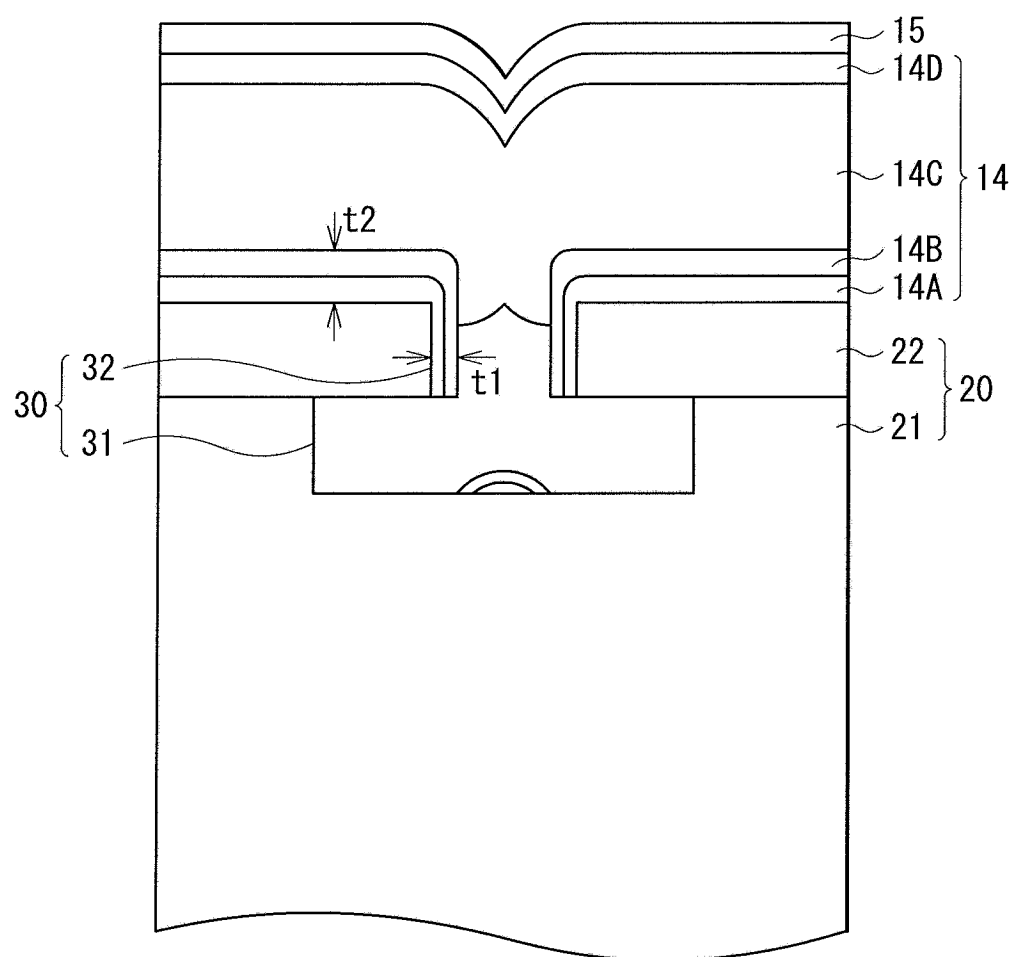


图 32

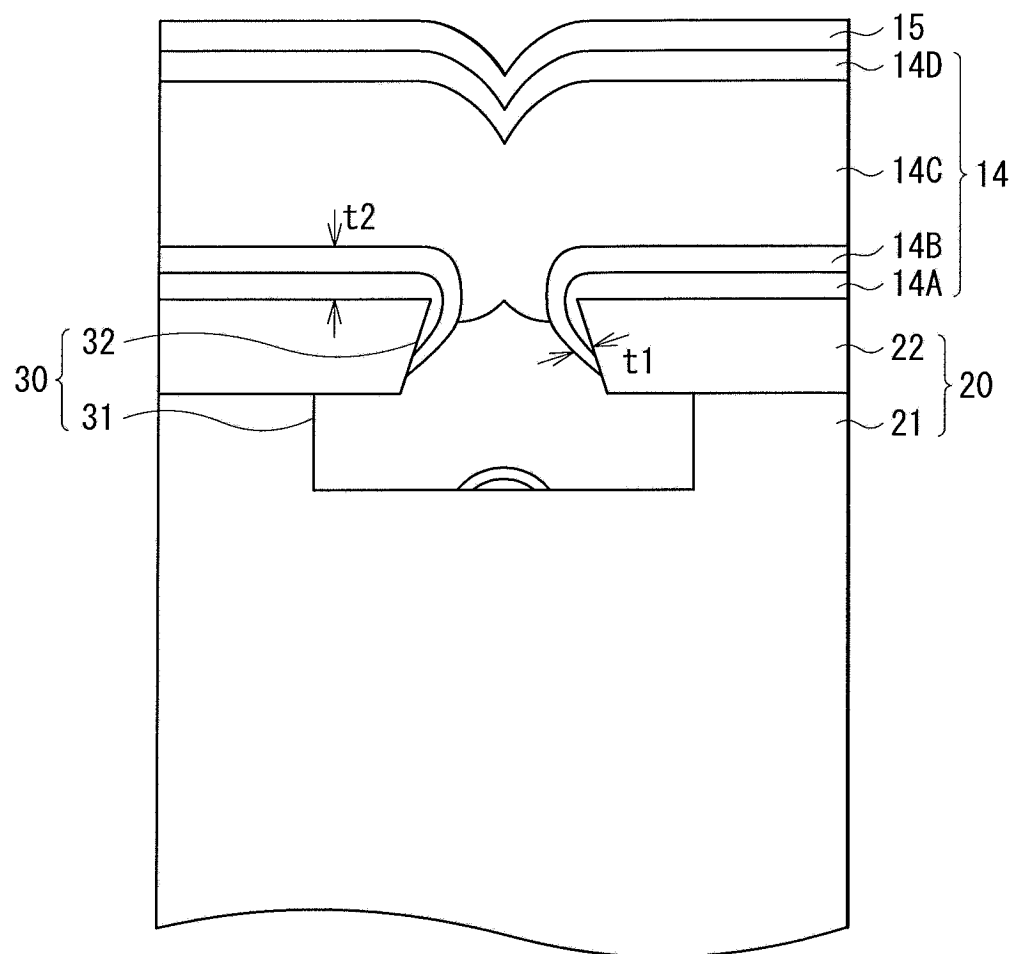


图 33

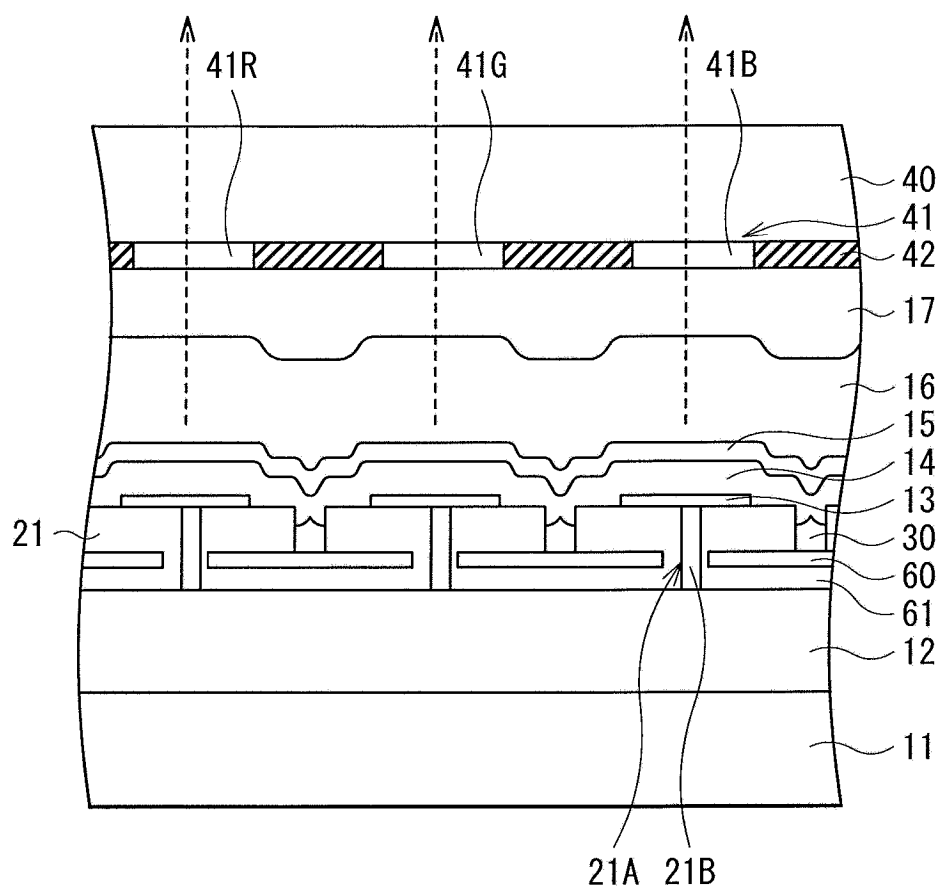


图 34

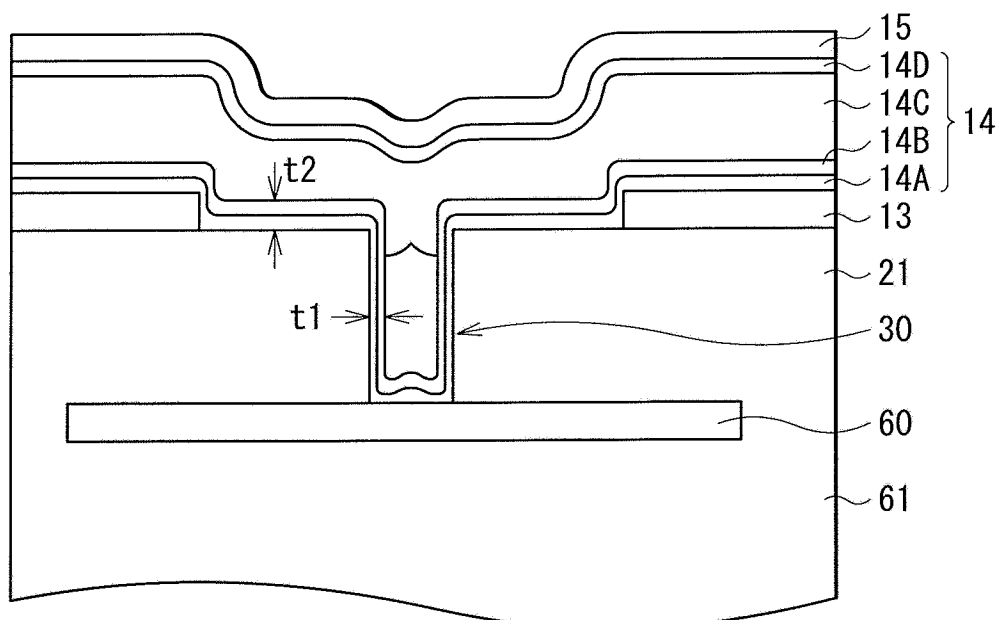


图 35

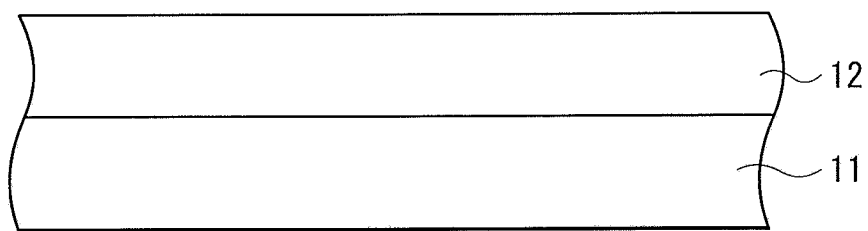


图 36A

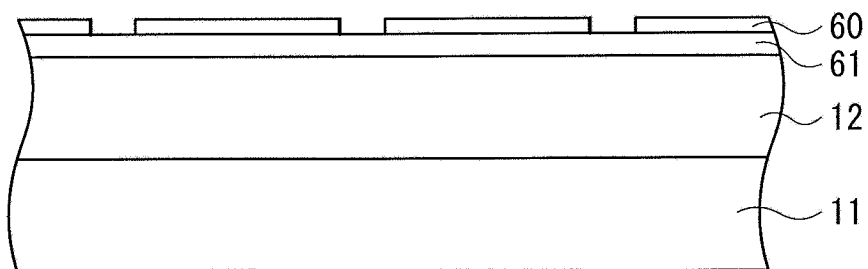


图 36B

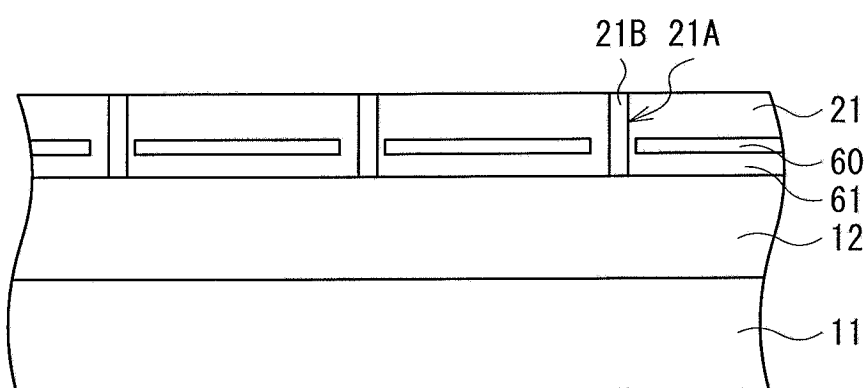


图 36C

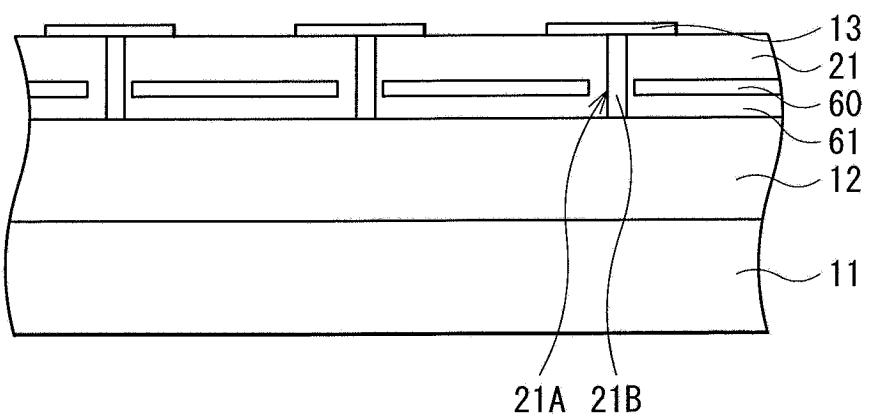


图 36D

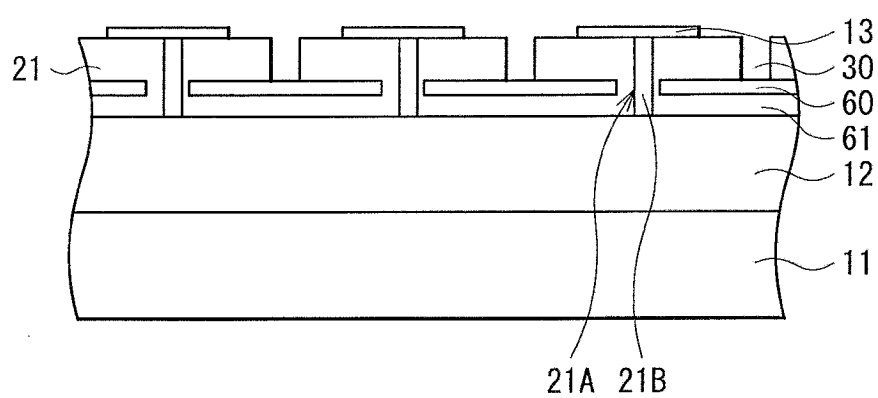


图 37A

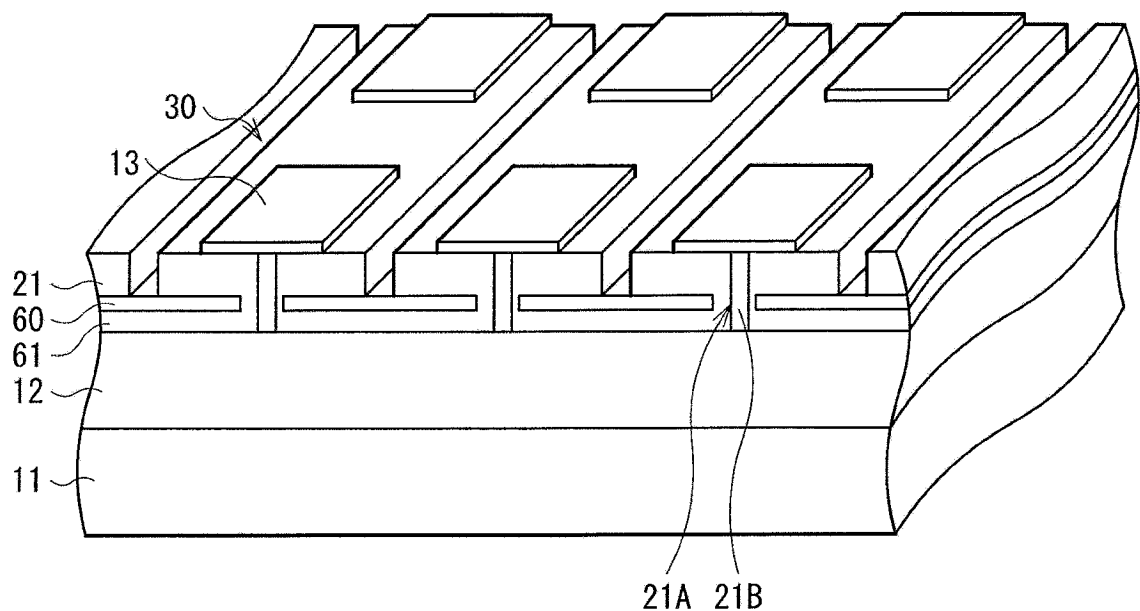


图 37B

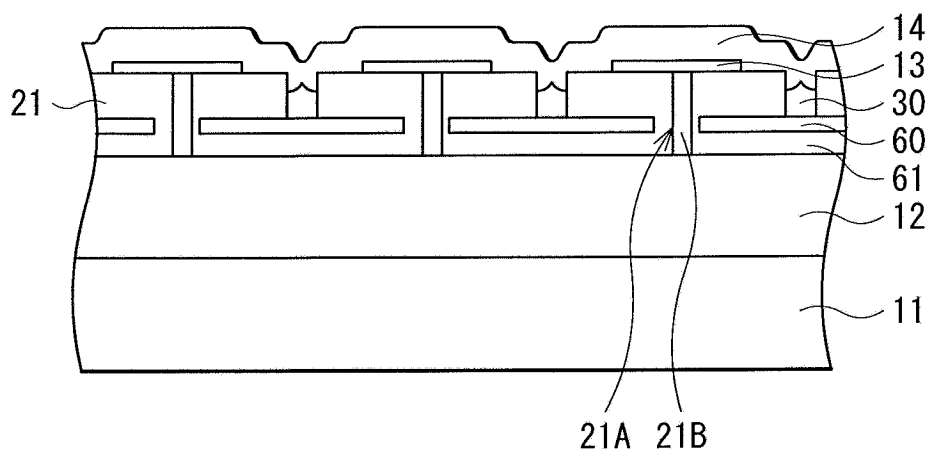


图 38

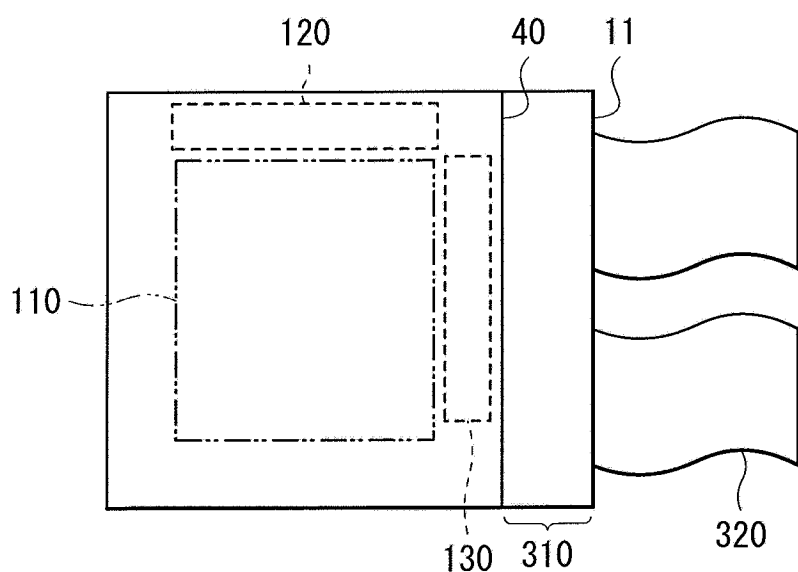


图 39

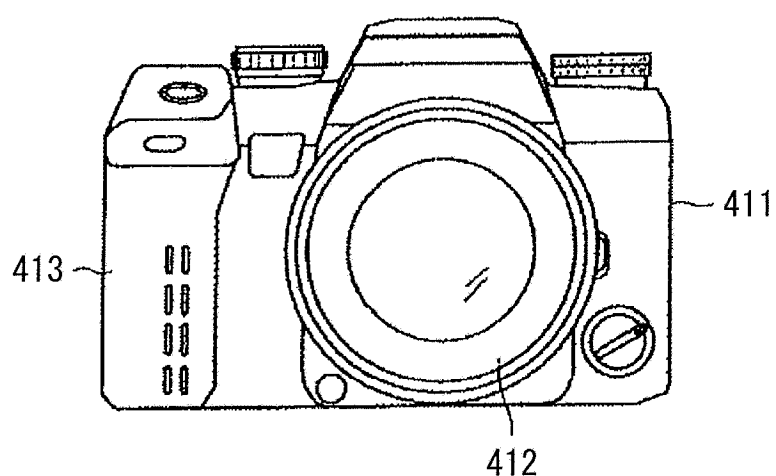


图 40A

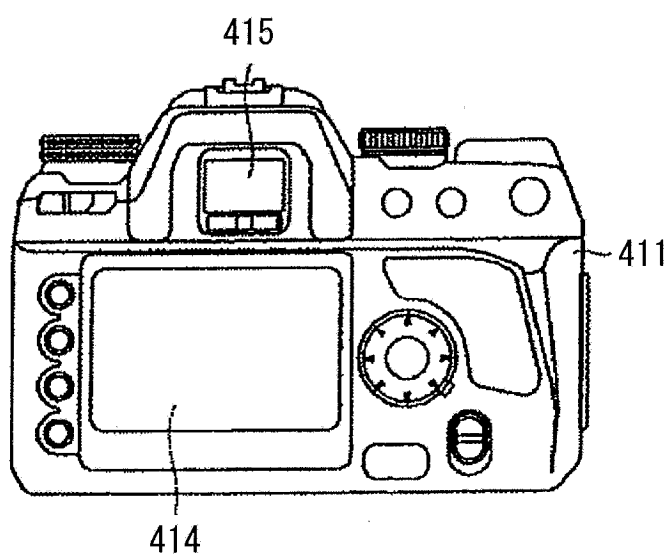


图 40B

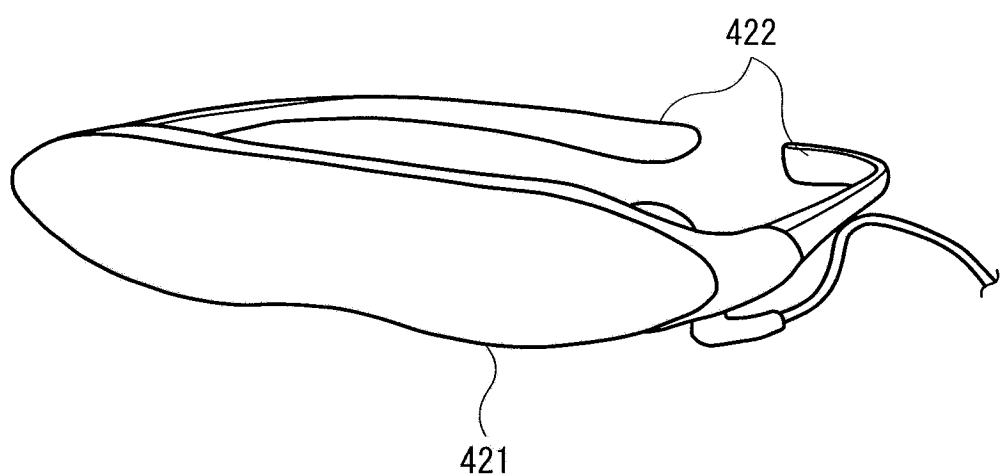


图 41

专利名称(译)	显示单元及其制造方法		
公开(公告)号	CN102738200A	公开(公告)日	2012-10-17
申请号	CN201210080760.9	申请日	2012-03-23
[标]申请(专利权)人(译)	索尼公司		
申请(专利权)人(译)	索尼公司		
当前申请(专利权)人(译)	索尼公司		
[标]发明人	山田二郎 横山诚一 长谷川英史 槙田笃哉 上杉昌尚 权藤胜一 市川朋芳 山下淳一		
发明人	山田二郎 横山诚一 长谷川英史 槙田笃哉 上杉昌尚 权藤胜一 市川朋芳 山下淳一		
IPC分类号	H01L27/32 H01L51/52		
CPC分类号	H01L27/3272 H01L51/5281 H01L27/322 H01L2251/5315 H01L51/5284 H01L27/3258 H01L2251/558 H01L51/5218 H01L27/3246 H01L51/504 H01L27/3211 H01L27/14625 H01L51/5012 H01L2227/32 H01L2251/5338		
代理人(译)	余刚		
优先权	2011079619 2011-03-31 JP		
其他公开文献	CN102738200B		
外部链接	Espacenet Sipo		

摘要(译)

一种显示单元及其制造方法，该显示单元在基板上包括：多个有机EL器件；以及配置在多个有机EL器件之间的器件间区域中的绝缘膜。该绝缘膜包括位于彼此相邻的有机EL器件之间的位置中的沟槽。

